

Farmakoen xurgapena

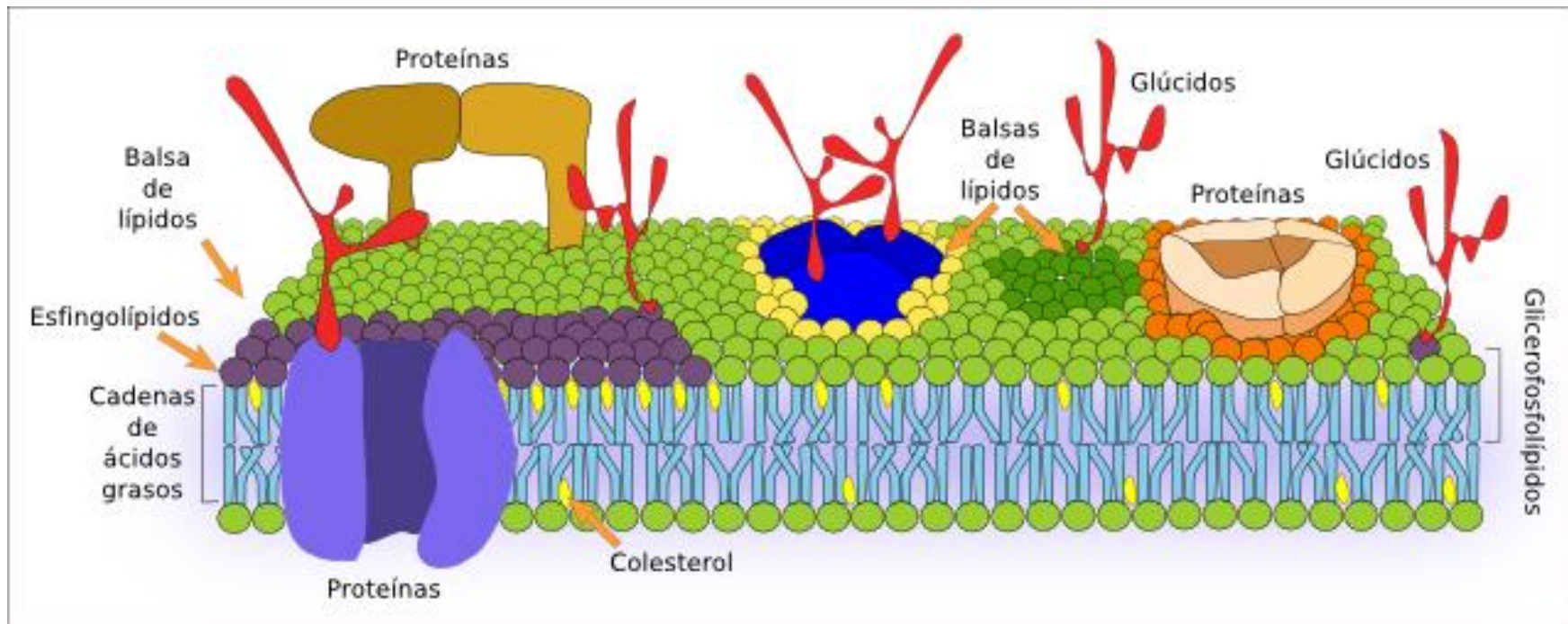


4. gaia

Edukien indizea

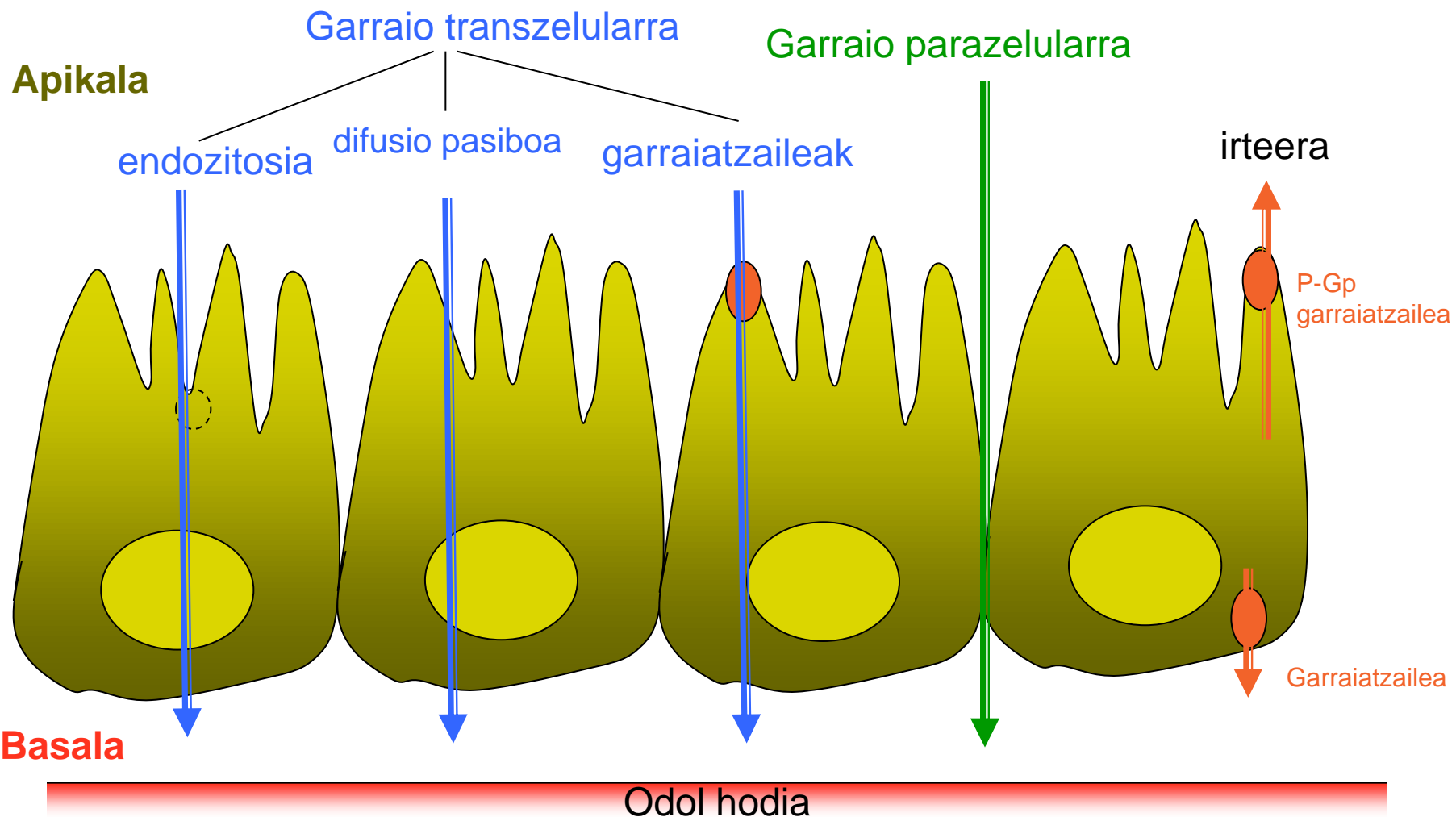
- ❑ Mintz biologikoak zeharkatzeko farmakoek erabiltzen dituzten mekanismoak :
 1. Garraio parazelularra: barreiadura pasiboa
 2. Garraio transzelularra:
 1. Barreiadura pasiboa: banatze pHren teoria
 2. Endozitosia
 3. Garraiatzaileen bidezko garraioa:
 1. Hartzea
 2. Kanporatzea
- ❑ Garraio linfatikoa
- ❑ Mikro/nanopartikulen hartzea
- ❑ Xurgapenaren sustatzaileak
- ❑ Iragazkortasuna ikasteko metodoak:
 1. *In vitro*
 2. *In vivo*
 3. *In silico*

Farmakoen xurgapena



"Atlas de Histología Vegetal y Animal. La célula" liburuan argitaratua "Creative Commons" lizentziarekin.
http://webs.uvigo.es/mmegias/5-celulas/3-membrana_cellular.php

Xurgapen-mekanismoak



Garraio parazelularra

- Hestean, garraio parazelularrerako azalera erabilgarria
⇒ hestearen azaleraren %0,01



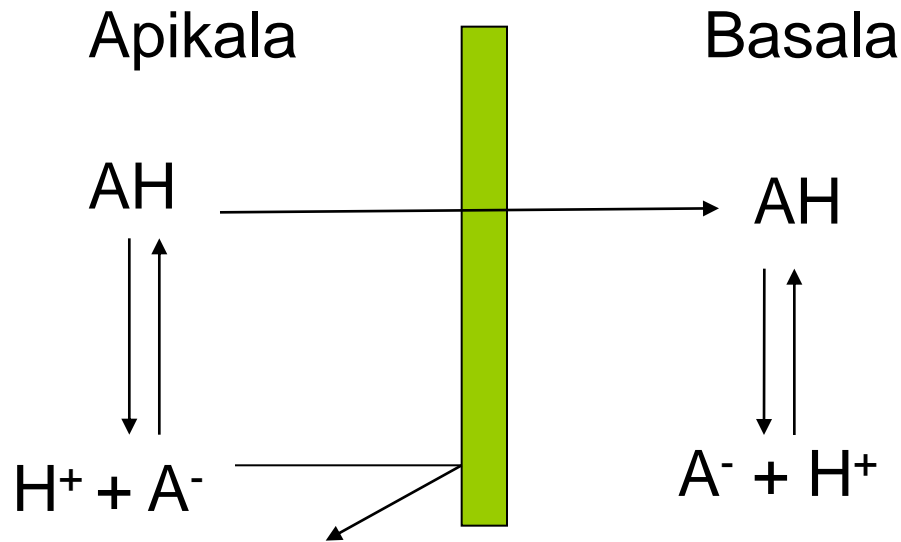
Gutxienekoa
Barrejadura pasiboa
Bakarrik farmako hidrofiloentzat
Tamaina molekularra (<11 Å)

- Hainbat elikagaietan handitu dezakete, zelulen arteko loturak erlaxatzen baitituzte

Garraio transzelularra

1. Barrejadura pasiboa (Pausu mugatzalea mintz apikala da). Gehiengoa
2. Endozitosia
3. Garraiatzaileen bidezko garraioa:
 - a) Hartzea
 - b) Kanporatzea (P-Glikoproteina)

Barrejadura pasiboa

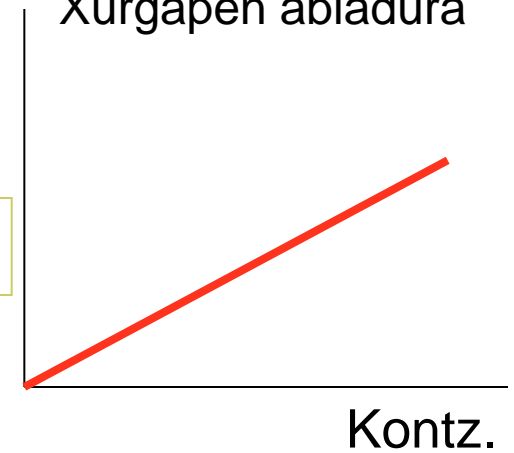


Fick-en legea

$$\frac{dc}{dt} = P A D/h (C_{\text{apikala}} - C_{\text{basala}})$$

$$\frac{dc}{dt} = K C_{\text{apikala}}$$

Xurgapen abiadura



Banatze pH-ren teoria

1. Inguruko pHan ionizatu gabeko formak xurgatuko dira, lipofiloak baitira. Ioiak ez dira xurgatuko
2. Ionizatu gabeko formek xurgapen abiadura *in vitro* zehazten den banatze koefizientearekiko zuzenki proporzionala izango da

Parametro garrantzitsuak:

- Tamaina molekularra
- Banatze koefizientea
- pH
- Azido/base izaera
- pKa

Banatze pH-ren teoria

Henderson-Hasselbach-en ekuazioa

Azidoentzat

$$pK_a - pH = \log(f_u - f_i)$$

$$f_u = 1 / 1 + 10^{(pH - pK_a)}$$

Baseentzat

$$pK_a - pH = \log(f_i - f_u)$$

$$f_u = 1 / 1 + 10^{(pK_a - pH)}$$

Banatze pH-ren teoria

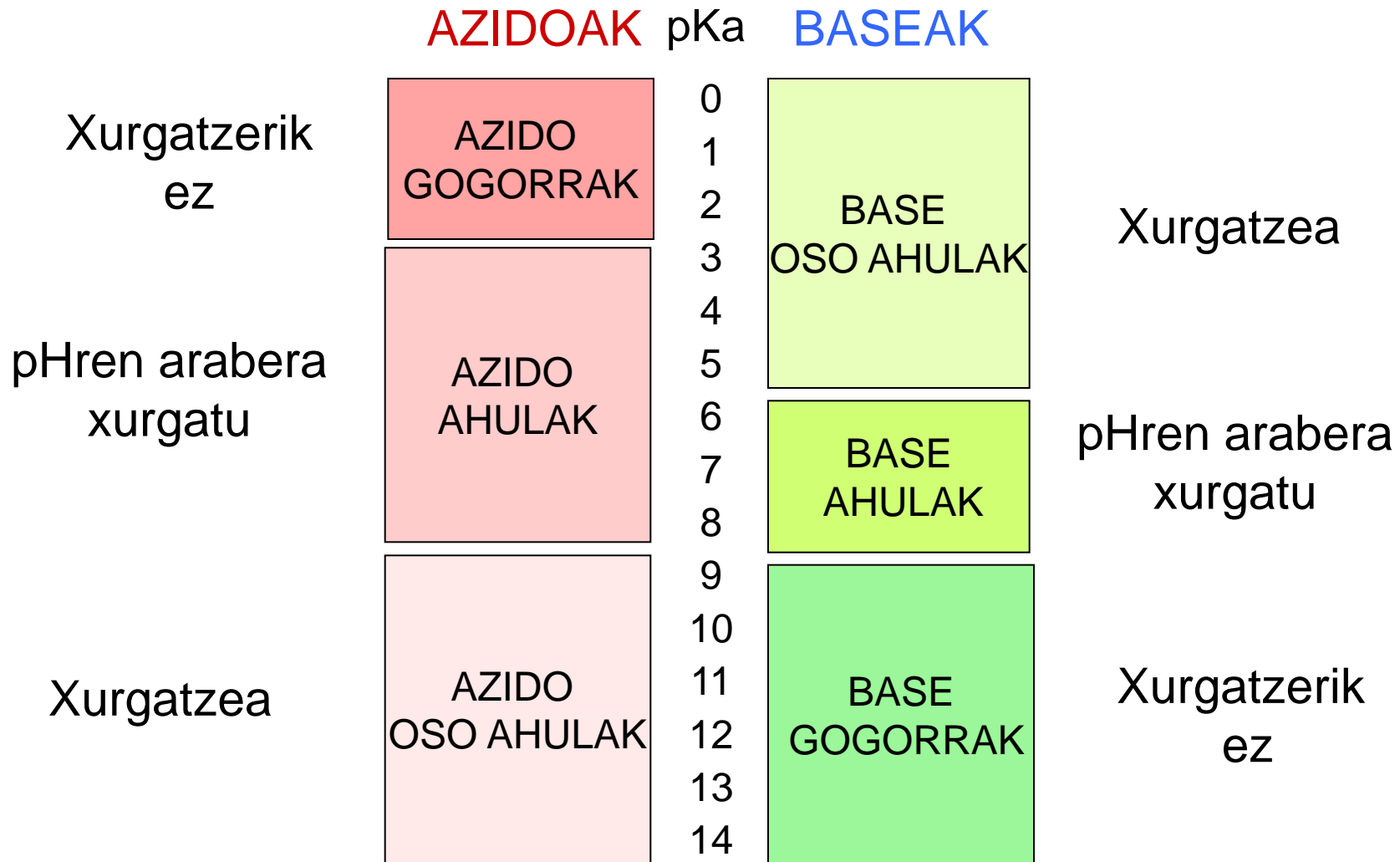
FARMAKO AZIDOAK

| | | |
|-------------|-----------------------|----------------|
| pKa<2,5 | Erabat ionizatuak | XURGATZERIK EZ |
| pKa>8,5 | Ionizatu gabe | XURGATZEA |
| 2,5<pKa<8,5 | XURGAPENA pHren MENPE | |

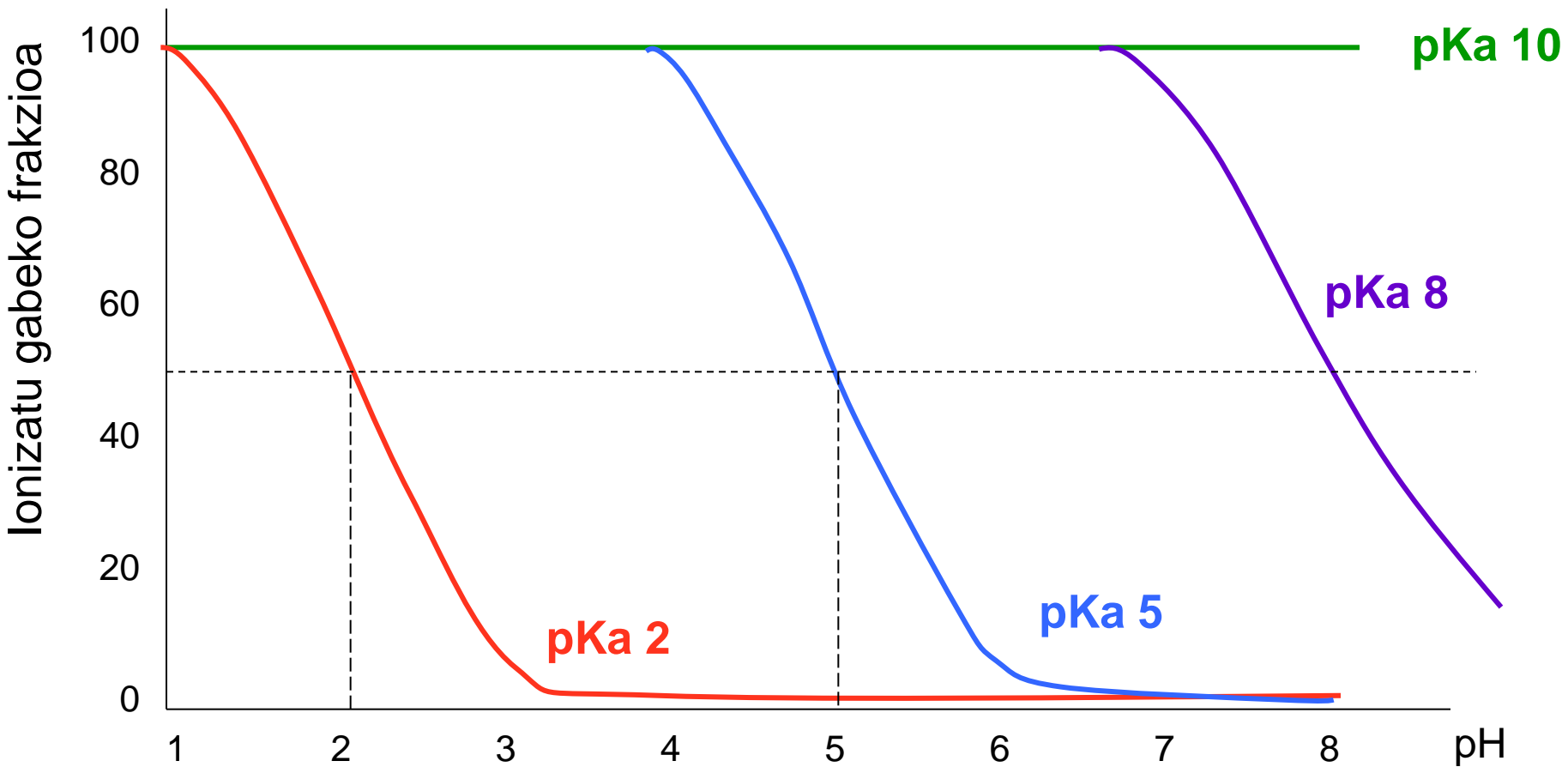
FARMAKO BASIKOAK

| | | |
|---------|-----------------------|----------------|
| pKa>8 | Erabat ionizatuak | XURGATZERIK EZ |
| pKa<5 | Ionizatu gabe | XURGATZEA |
| 5<pKa<8 | XURGAPENA pHren MENPE | |

Banatze pH-ren teoria

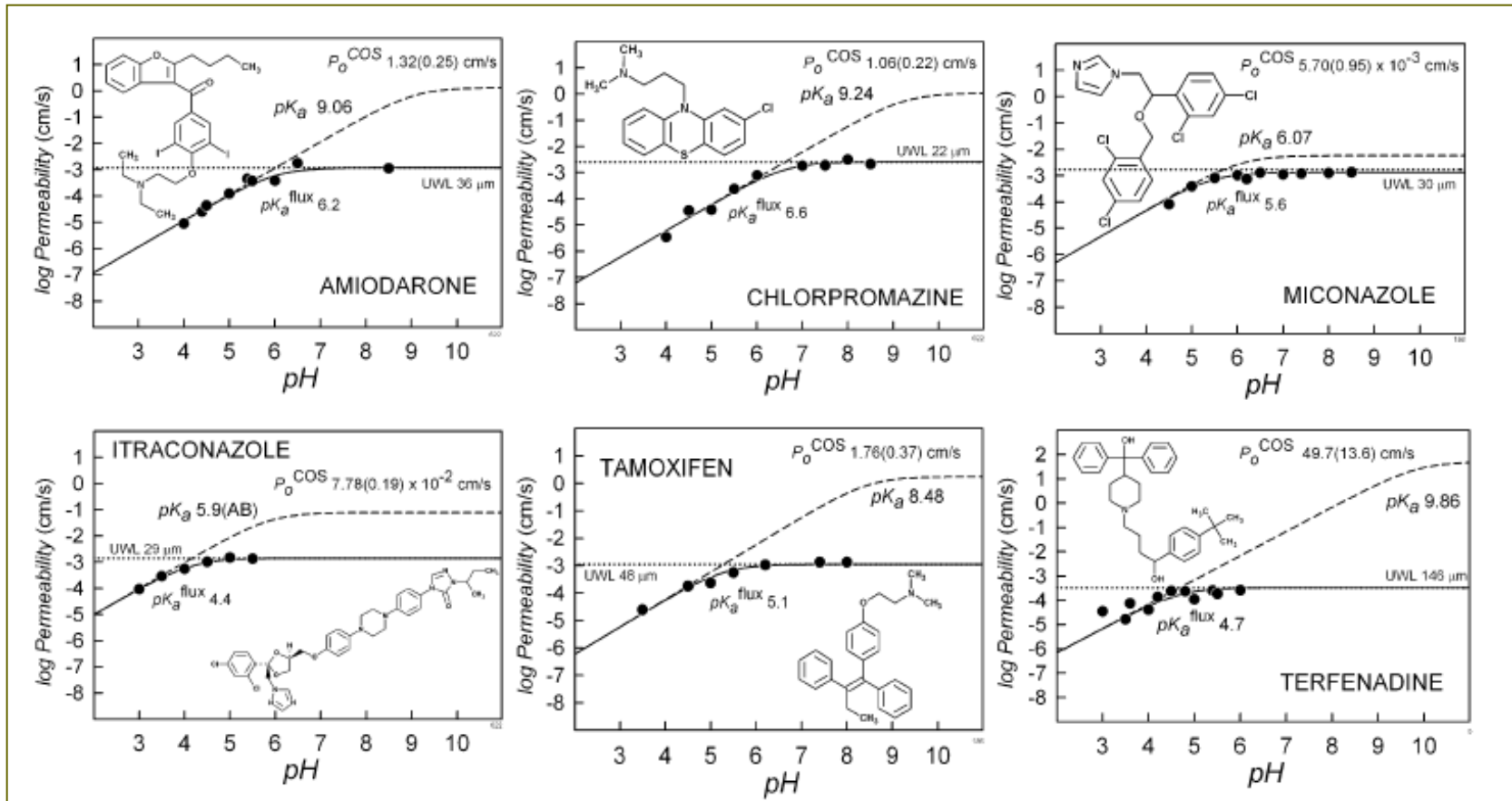


Banatze pH-ren teoria



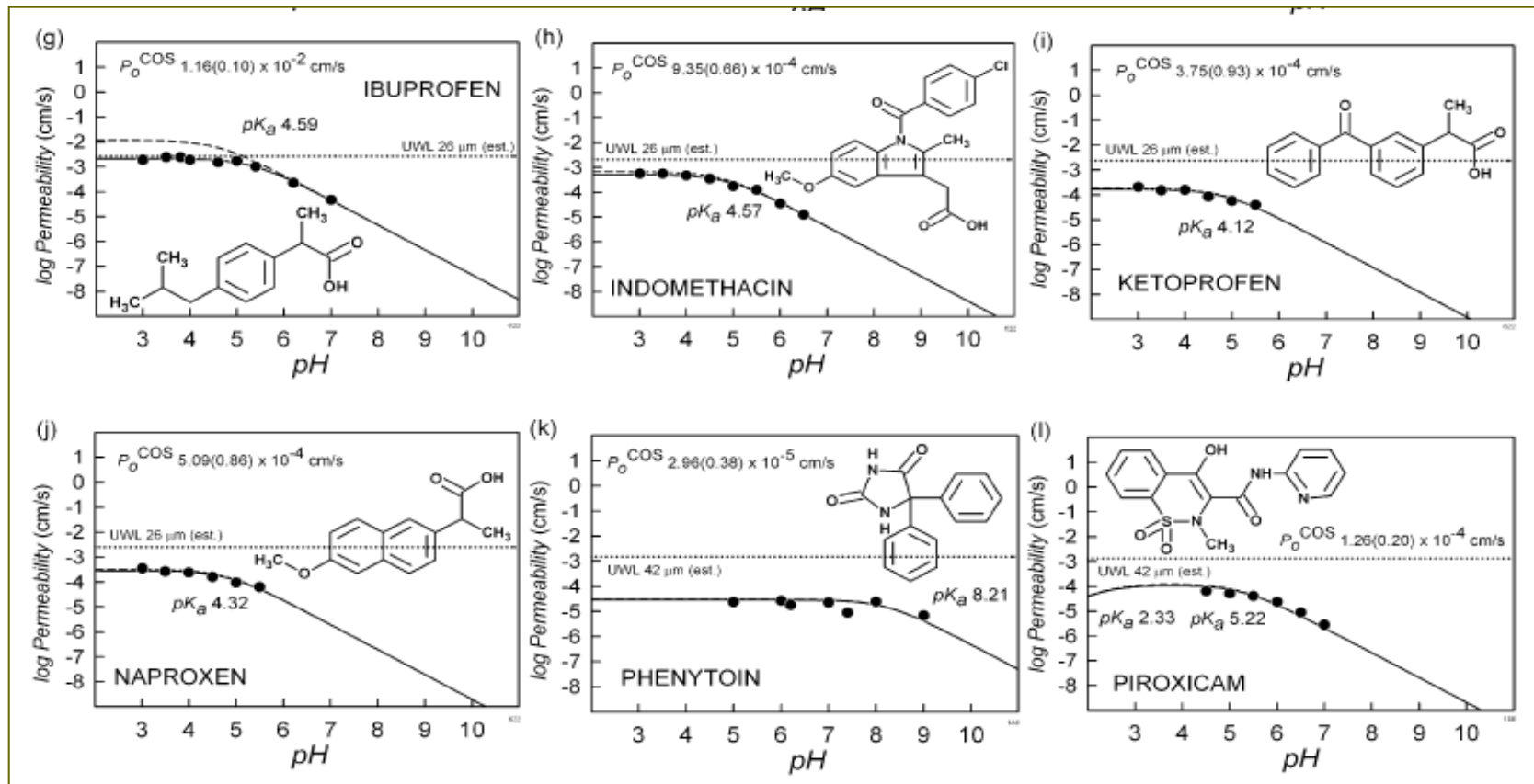
Farmako **azido** baten ionizatu gabeko frakzioa pHren arabera eta pKaren arabera

Banatze pH-ren teoria



pHren eragina izaera basikoa duten 6 farmakoen iragazkortasunean

Banatze pH-ren teoria



pHren eragina izaera azidoa duten 6 farmakoen iragazkortasunean

Ruell JA, Tsinman O, Avdeef A. Chem Pharm Bull 2004;52:561-565

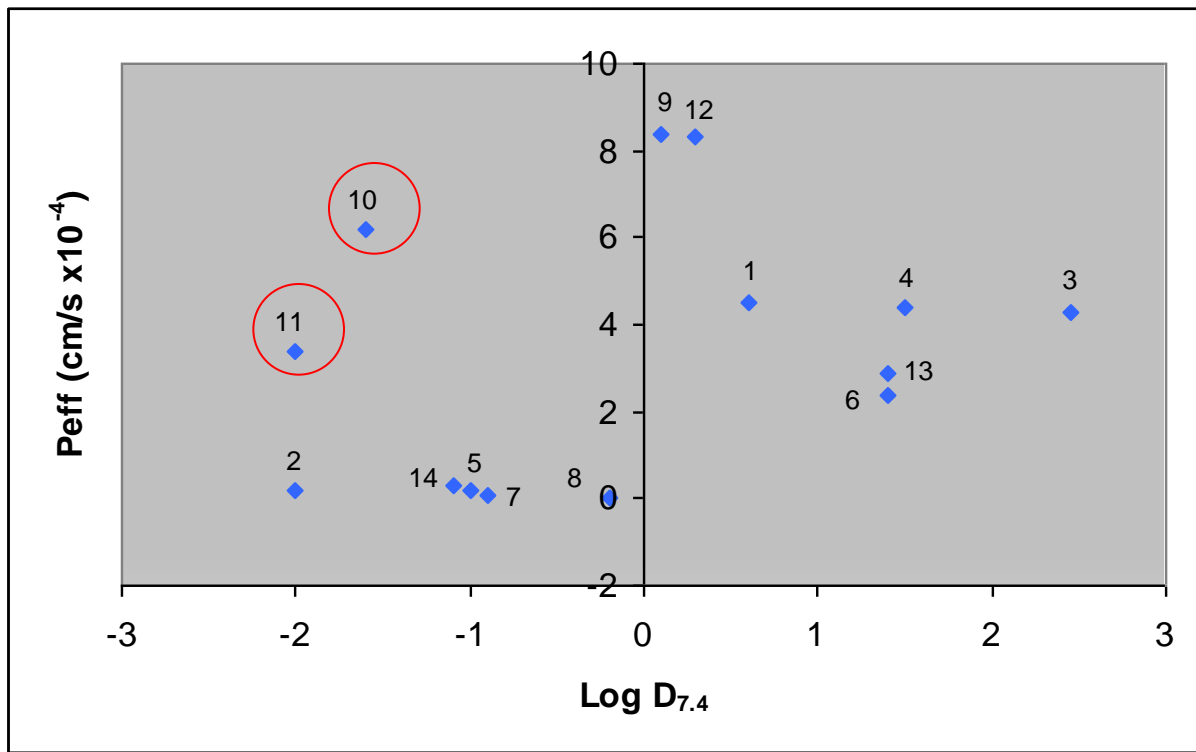
Banatze pH-ren teoria

| | | | Xurgatutako % | |
|---------|-------------------|-----|---------------|------|
| | | pKa | pH 1 | pH 8 |
| Azidoak | 5-sulfosaliziliko | <2 | 0 | 0 |
| | 5-nitrosaliziliko | 2,3 | 52 | 16 |
| | Saliziliko | 3,0 | 61 | 13 |
| | Tiopental | 7,6 | 46 | 34 |
| Baseak | Anilina | 4,6 | 6 | 56 |
| | P-tolbutamida | 5,3 | 0 | 47 |
| | Kinina | 8,4 | 0 | 18 |
| | Dextrometorfano | 9,2 | 0 | 18 |

Urdailleko xurgapena, pHa 1 eta 8 denean, arratoi este-perfunditu eredu batean farmakoaren disoluzioa perfunditu eta gero

Banatze pH-ren teoria

Banatze koefizientearen eragina iragazkortasunean



| | |
|----|-------------------|
| 1 | antipirina |
| 2 | atenolol |
| 3 | karbamazepina |
| 4 | desipramina |
| 5 | enalapriilo |
| 6 | flubastatina |
| 7 | furosemida |
| 8 | hidroklorotiazida |
| 9 | ketoprofeno |
| 10 | L-leucina |
| 11 | L-dopa |
| 12 | naproxeno |
| 13 | propranolol |
| 14 | terbutalina |

Iragazkortasunaren eta oktanol/ura banatze koefizientearen arteko erlazioa pH 7.4 denean

Iturri honetatik aldatua: Winiwarter S, Bonham NM, Ax F, Hallberg A, Lennernäis H, Karlén A. J Med Chem 1998;41:4939-4949

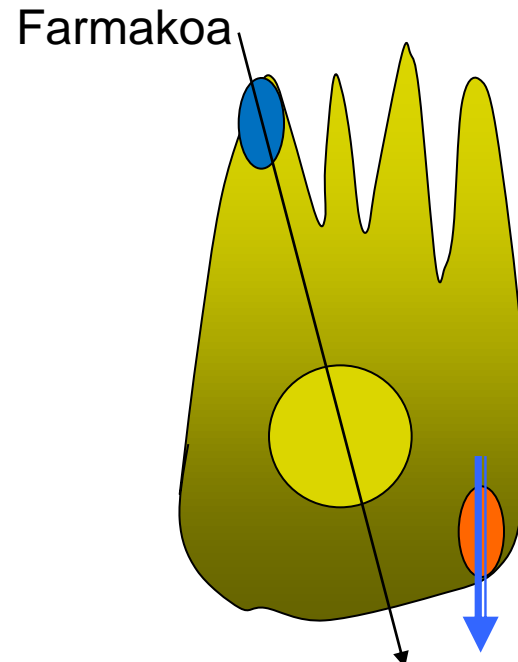
Garraiatzaile bidezko garraioa

Hartzea

1. Mintz apikalean dagoen garraiatzaile (proteina) batekin elkartu
2. Elikagaien garraiorako erabilitako garraiatzaileak. Farmakoen kasuan: oligopeptidoak eta aminoazidoak
3. Heste meharrean importantea. Jejunoan bereziki

Adibideak:

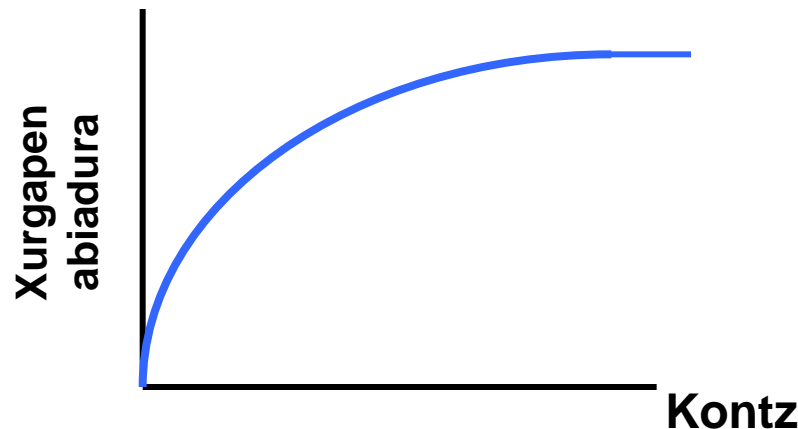
- Amoxizilina
- Cefalexina
- Enalapril
- Lisinopril
- L-dopa



Garraiatzaile bidezko garraioa

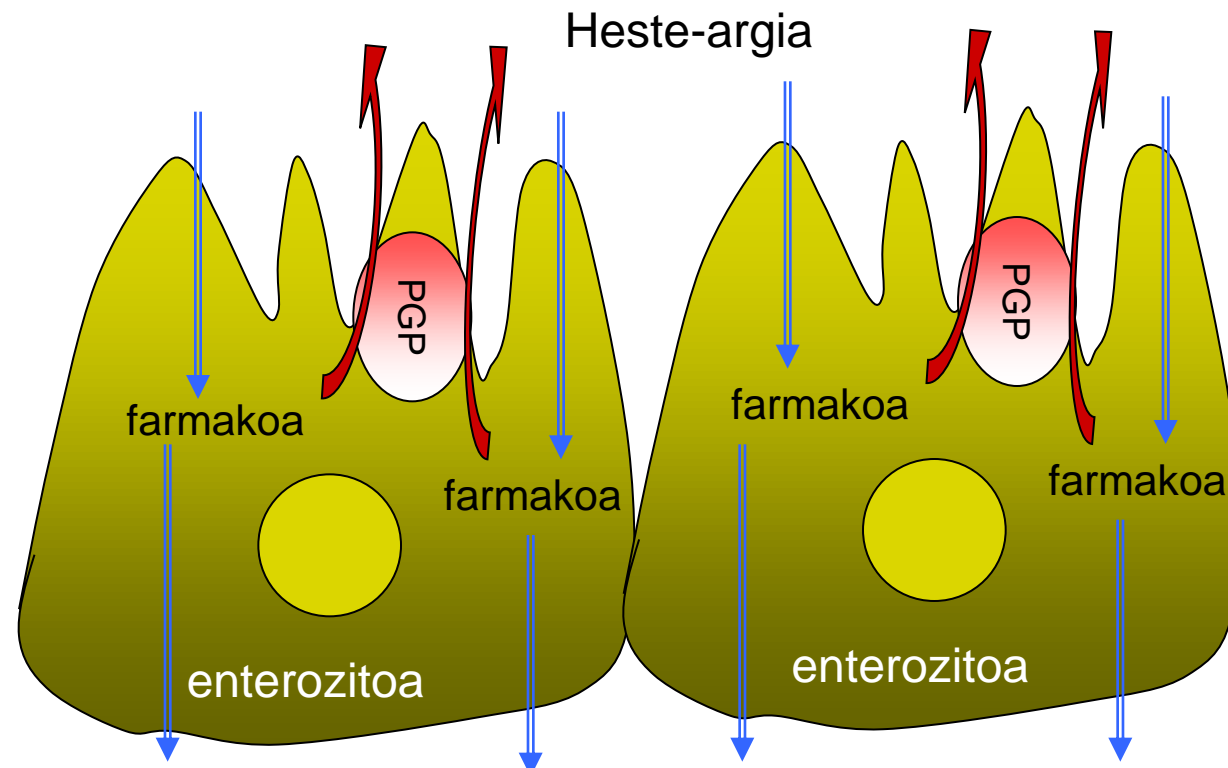
Ezaugarriak

1. Espezifikotasuna
2. Saturagarria
3. Inhibizio lehiakorra egon daiteke
4. Energia behar du (garraio aktiboa)
5. Energia gabekoa (Barreiadura erraztua)



Garraiatzaile bidezko garraioa

Kanporatzea: P-glicoproteina (PGP)

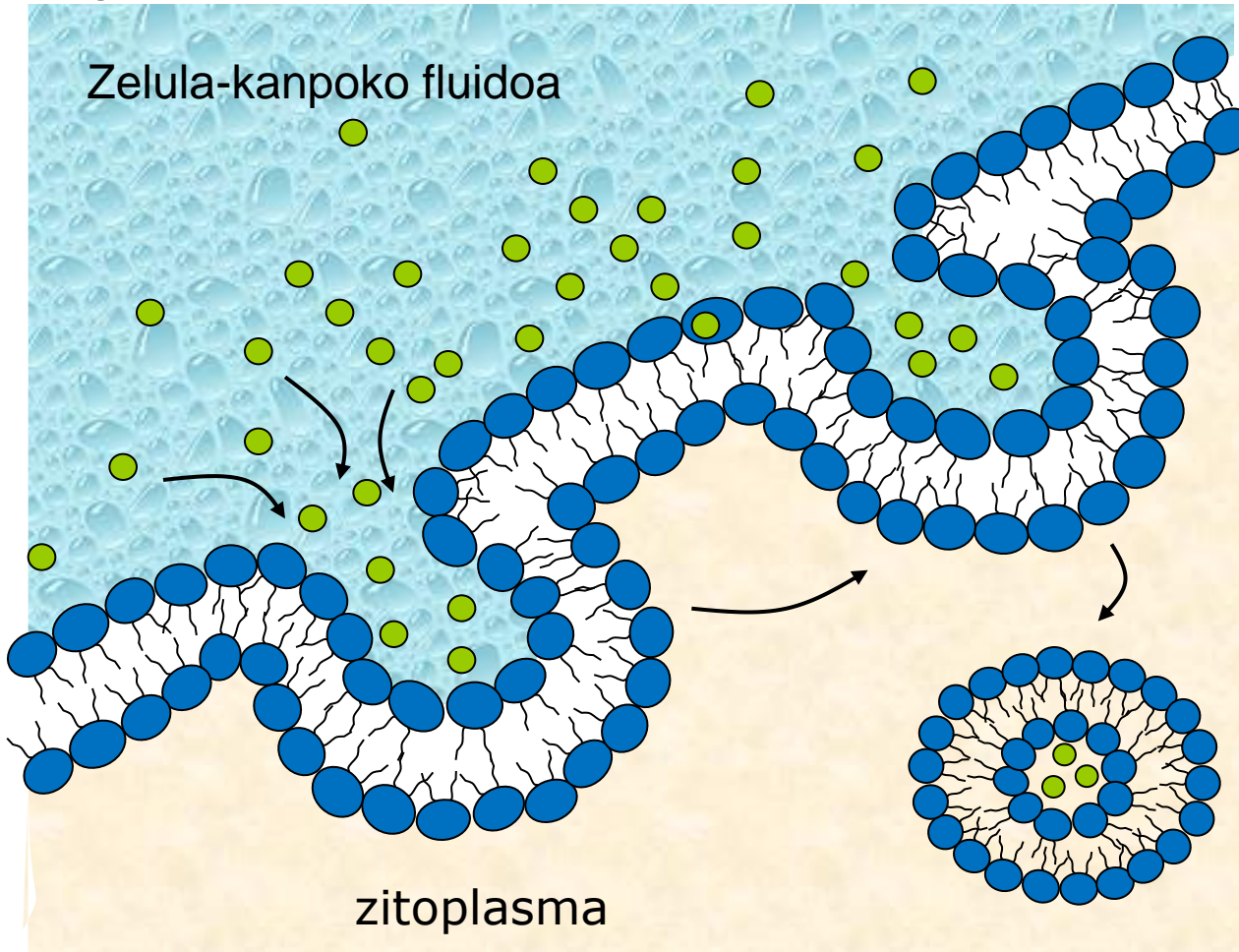


Odol zirkulazioa

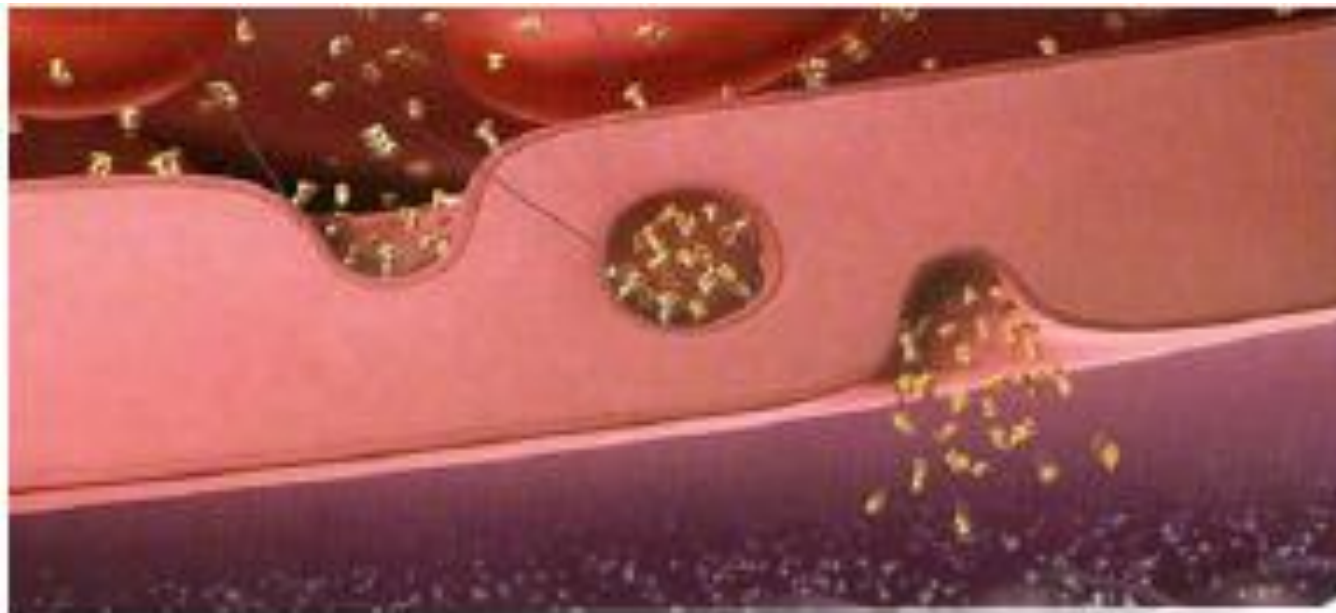
P-glikoproteina urdailetik kolonera handituz doa
Hidrofobizitatea importantea

Endozitosia

- Importantea mikro/nanopartikulentzat
- Tamainagatik baldintzatua

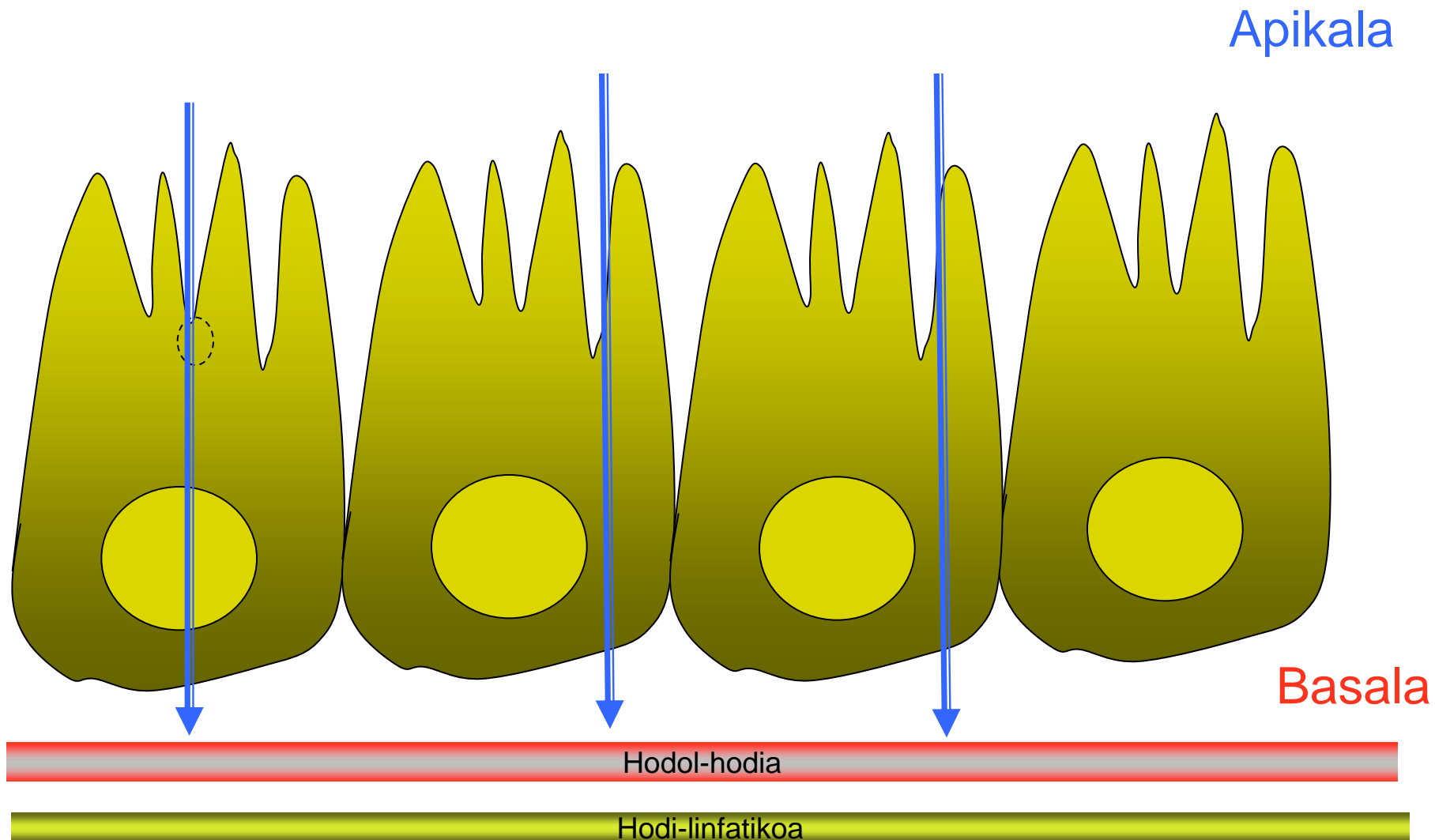


Endozitosia

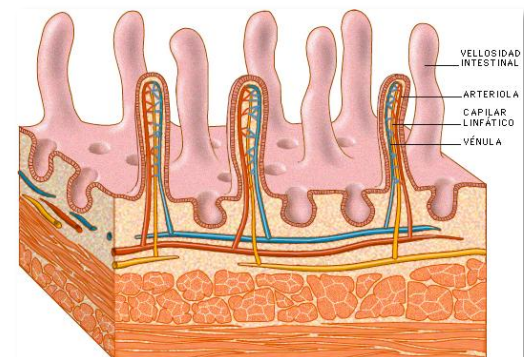
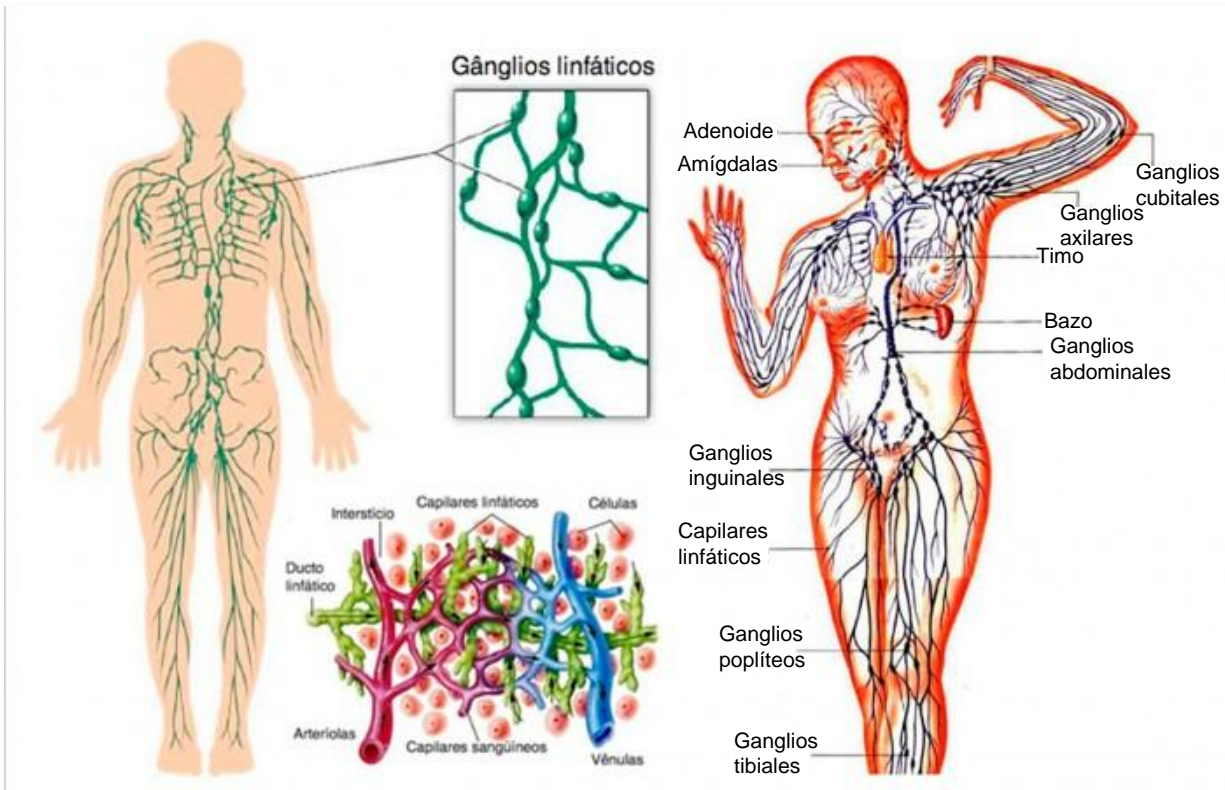


Kratz F, Elsadek B. *J Control Release* 2012;161:429–445

Garraio linfatikoa



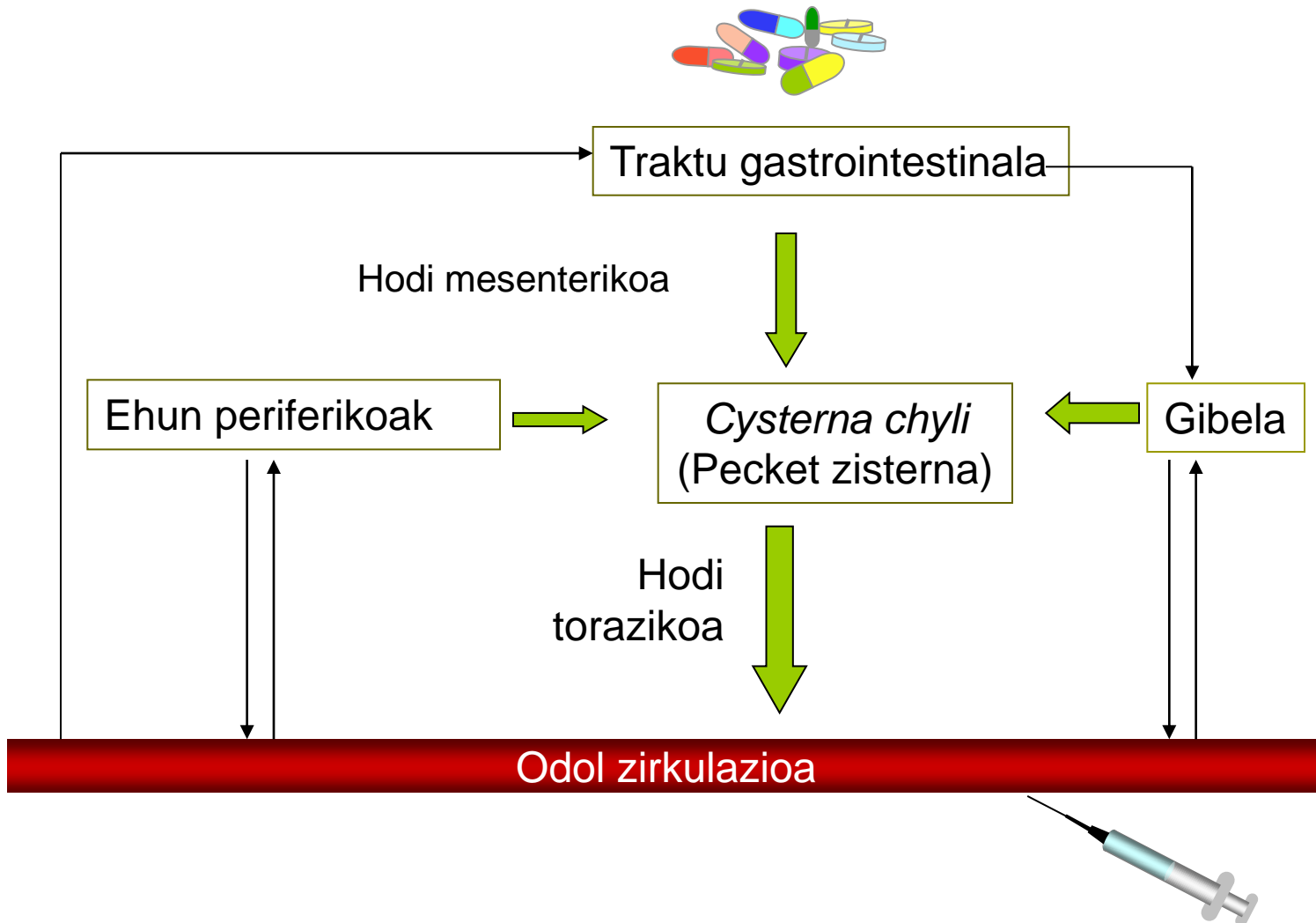
Garraio linfatikoa



[http://recursos.cnice.mec.es/
biosfera/alumno/3ESO/diges
/contenidos4.htm](http://recursos.cnice.mec.es/biosfera/alumno/3ESO/diges/contenidos4.htm)

*Curioseando.com-en argitaratua “Creative Commons Atribución – Compartir Igual 4.0 Internacional (CC BY-SA 4.0)” lizentziarekin.
<https://curiosoando.com/que-es-la-linfa>*

Garraio linfatikoa



Garraio linfatikoa

HELBURUAK

- Minbizia eta metastasi linfatikoen tratamendua minbiziaren aurkako tratamenduekin
- Erantzun immunologikoak hobetu erantzun immunitarioan aldaketak direla medio
- Gibeleko lehenengo iragaitea gutxitu

MAKROMOLEKULEN GARRAIOA

→ Tamaina (dextranoak)

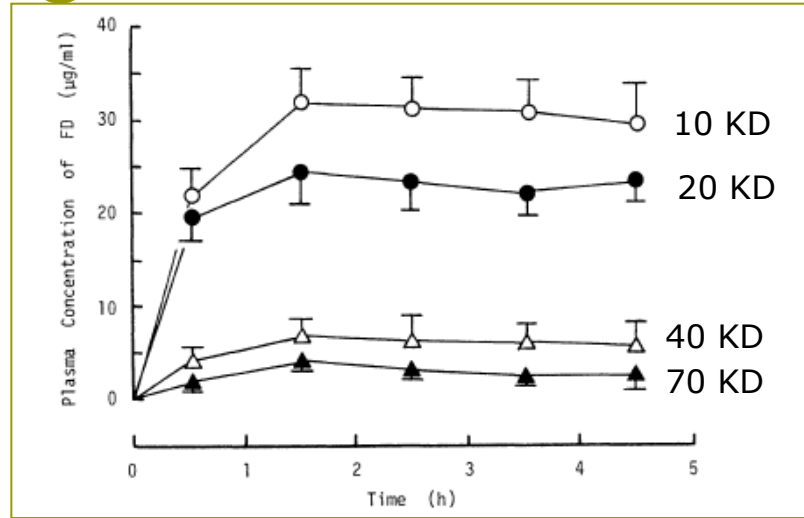
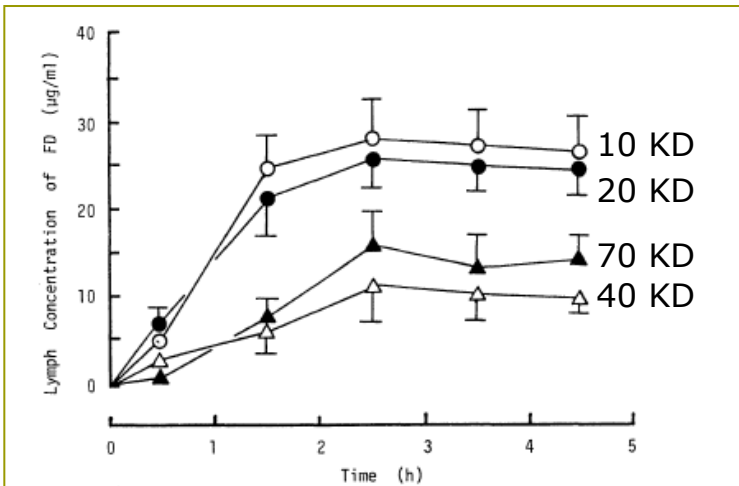
SUSTANTZIA LIPIDIKOEN GARRAIOA

→ Disolbagarritasun lipidiko egokia

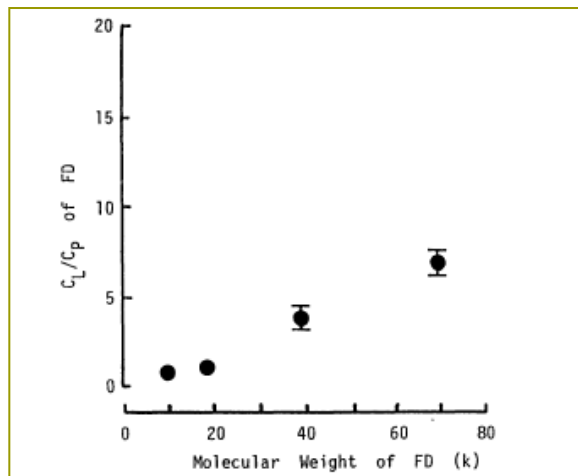
Garriatzailearen efektua garraio linfatikoan:

- Aldi berean lipidoak administratzeak xurgapen linfatikoa handitzen du
- Gantz azidoak : >12 karbono atomo: garraio linfatikoa
<12 karbono atomo: porta (odola)

Garraio linfatikoa: pisu molekularraren eragina



Pisu molekular ezberdineko dextranoen kontzentrazio plasmatikoa eta linfatikoa



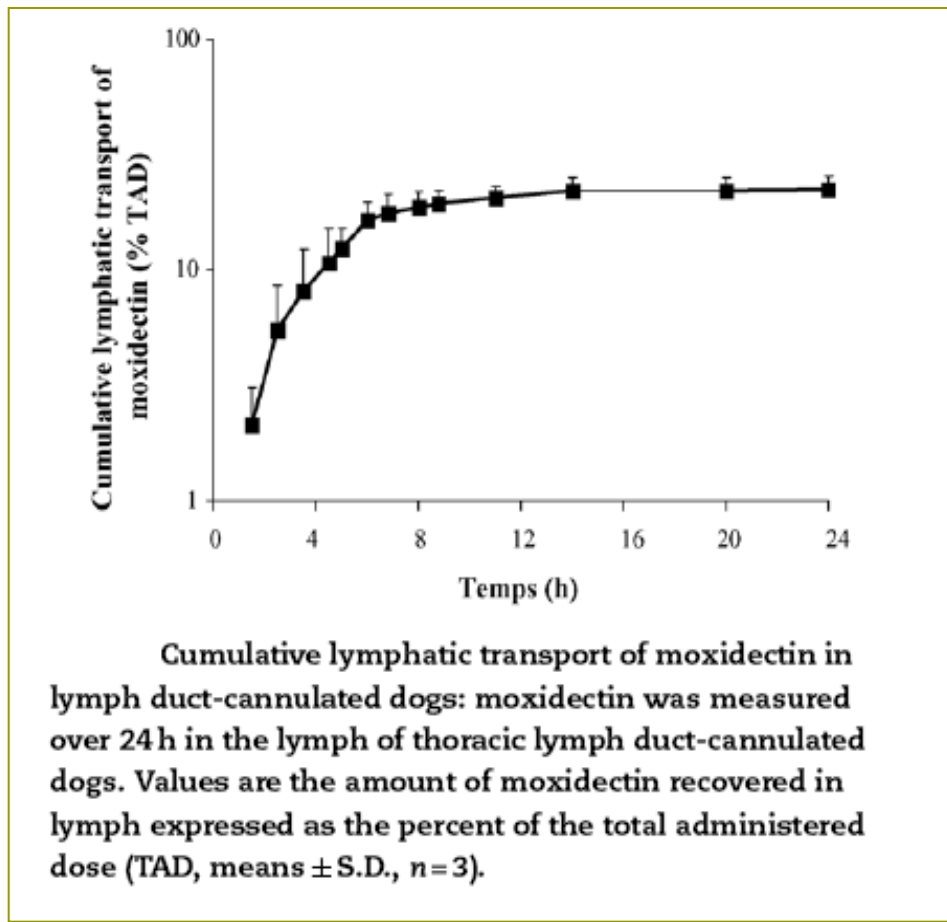
Dextrano ezberdinen kontzentrazio plasmatikoen eta linfatikoen arteko erlazioa

Iturri honetatik aldatua: Yoshikawa H, Takada K, Muranashi S. Pharm Res 1992;9:1195-1198

Garraio linfatikoa: lipofiliaren eragina

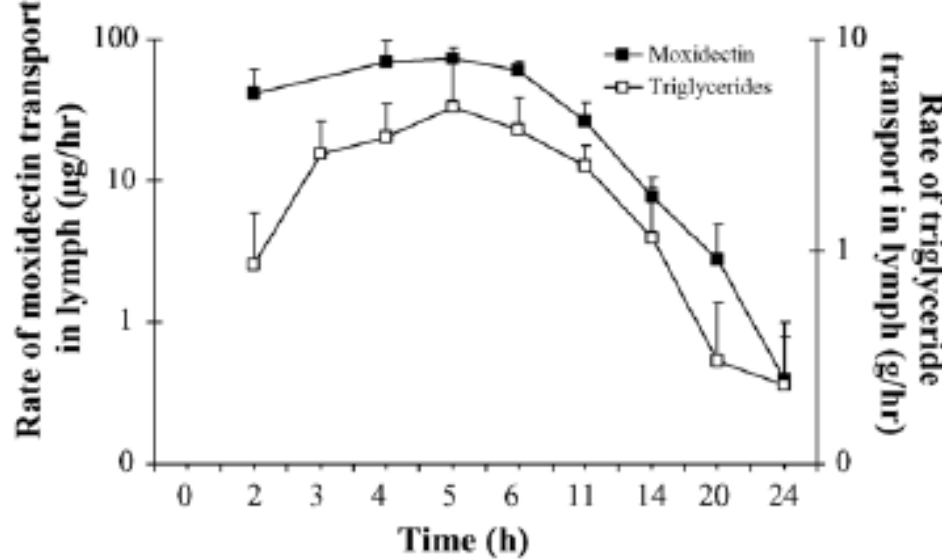
| KONPOSATUA | DOSIA | DENBORA | LINFAN DAGOEN % |
|------------------------|----------------------------|---------|-----------------|
| $^2\text{H}_2\text{O}$ | 0,2 mL | 20 min | 0,8 |
| PAS | 40 mg | 42 min | 1,2 |
| DDT | 10 μmol /etanol | 24 h | 15,6 |
| | 100 nmol/ekilore-olioa | 12 h | 61,6 |
| ZIKLOSPORINA | 7 mg/kg | 6 h | 1,9 |

Garraio linfatikoa



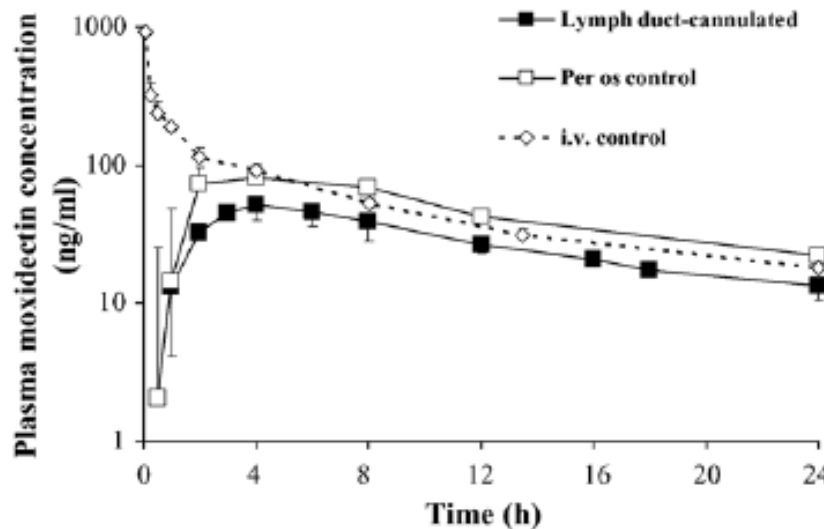
Lespinea A, Chanoitb G, Bousquet-Melouc A, Lallemandc F,
Bassissia FM, Alvineriea M, Toutainc PL. Eur J Pharm Sci 2006;27:37–43

Garraio linfatikoa



Rate of lymphatic transport of moxidectin (■) and triglycerides (□) in lymph duct-cannulated dogs:
moxidectin and triglyceride were measured in lymph of lymph duct-cannulated dogs over 24 h after treatment.
Values are means \pm S.D., n = 3.

Garraio linfatikoa



Moxidectin plasma concentration-time profile in lymph duct-cannulated and control dogs: moxidectin was measured in the plasma of thoracic lymph duct-cannulated dogs (■, n = 3) and of control non-operated dogs (□, n = 5) after oral administration of corn oil (38 g) and moxidectin (0.2 mg/kg) or in control dogs after i.v. injection of moxidectin (0.2 mg/kg, (◊) n = 5). Values are means ± S.D.

Garraio linfatikoa

HELBURUAK

- Minbizia eta metastasi linfatikoen tratamendua minbiziaren aurkako tratamenduekin
- Erantzun immunologikoak hobetu erantzun immunitarioan aldaketak direla medio
- Gibeleko lehenengo iragaitea gutxitu

MAKROMOLEKULEN GARRAIOA

→ Tamaina (dextranoak)

SUSTANTZIA LIPIDIKOEN GARRAIOA

→ Disolbagarritasun lipidiko egokia

Garriatzalearen efektua garraio linfatikoan:

- Aldi berean lipidoak administratzeak xurgapen linfatikoa handitzen du
- Gantz azidoak : >12 karbono atomo: garraio linfatikoa
<12 karbono atomo: porta (odola)

Garraio linfatikoa: garraiatzailearen eragina

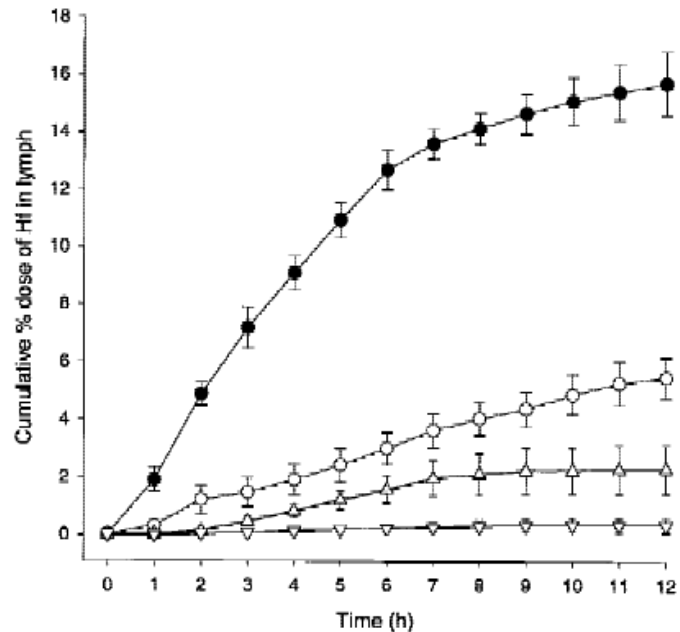


Figure 1. Cumulative lymphatic transport of halofantrine (mean % dose \pm SE; $n = 4$) after oral administration in long-chain, C₁₈ (●); medium-chain, C₈₋₁₀ (○); and short-chain, C₄ (Δ) triglyceride lipid-based formulations, and a lipid-free (∇) formulation.

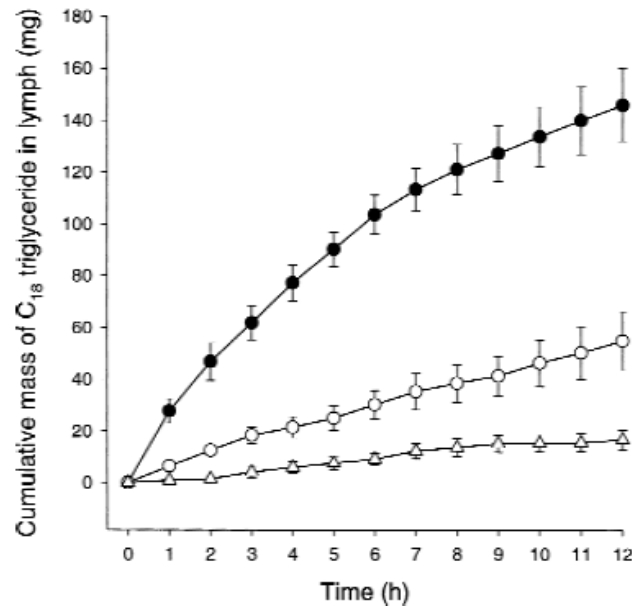


Figure 2. Cumulative total mass of C₁₈ triglyceride (mean \pm SE; $n = 4$) in rat lymph after oral administration of halofantrine in long-chain, C₁₈ (●); medium-chain, C₈₋₁₀ (○); and short-chain, C₄ (Δ) triglyceride lipid-based formulations.

Garraio linfatikoa: garraiatzailearen eragina

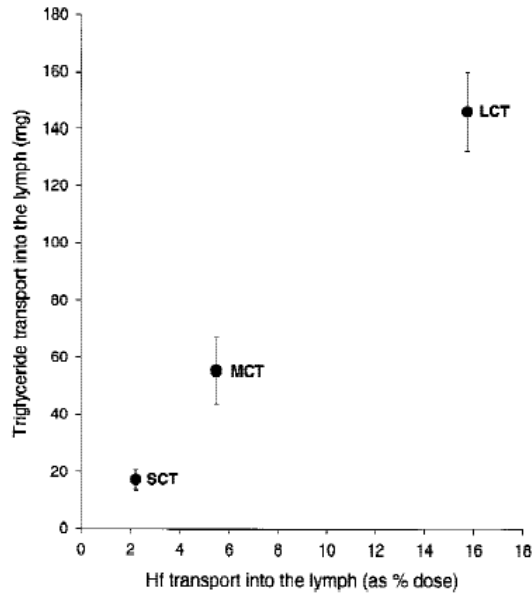
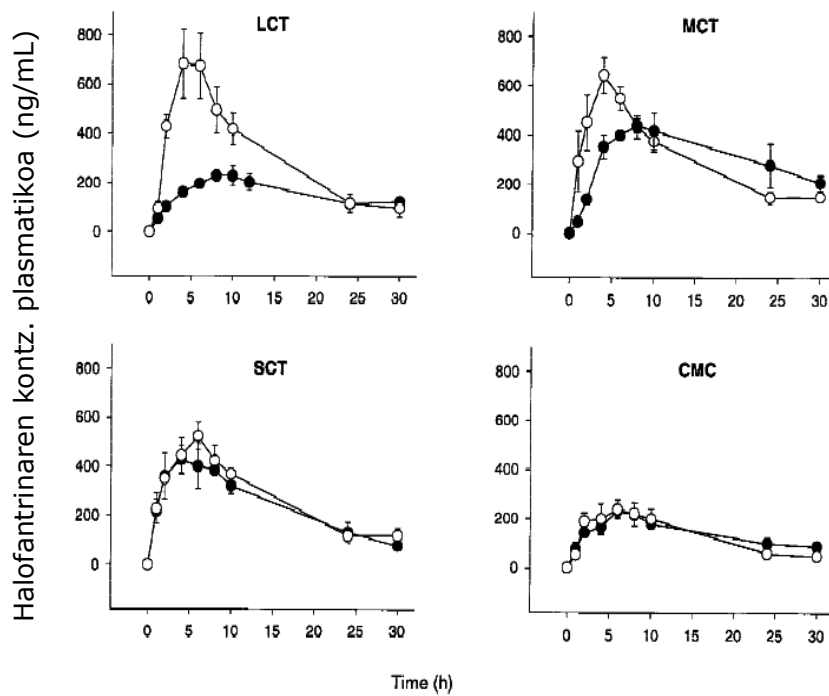


Figure 3. Correlation between cumulative total mass of C_{18} triglyceride lipid in the lymph (mean \pm SE; $n = 4$) and halofantrine lymphatic transport (mean % dose \pm SE; $n = 4$), after oral administration in long-chain (C_{18}), medium-chain (C_{8-10}), and short-chain (C_4) triglyceride lipid-based formulations ($R^2 > 0.99$).

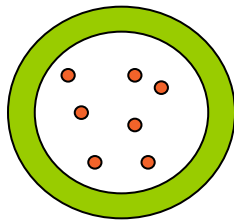


Halofantrinaren kontzentrazio plasmatikoak hodi linfatikoa kanulatua (●) edo kanulatu gabe (○) duten arratoietaan, aho-bidez 2,5 mg-ko dosia garraiatzaile desberdiniek administratu eta gero. LCT: kate luzeko gantz azidoak, MCT: kate erdiko gantz azidoak, SCT: kate laburreko gantz azidoak, CMC: karboximetil zelulosa.

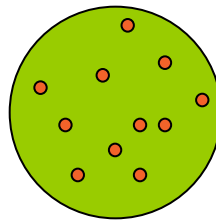
Mikro/nano partikulen hartzea

Mikro/nano partikula motak

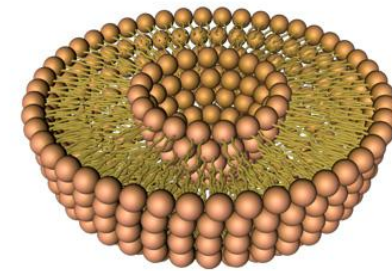
1. Mikro/nano kapsulak (gordailu sistemak)
2. Mikro/nano esferak (sistema matrizialak)
3. Liposomak



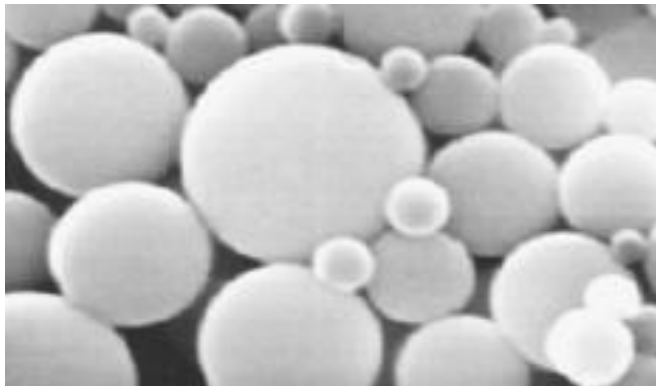
Mikro/nano kapsula



Mikro/nano esfera



liposoma



Egilea: 2mdc.com.
Creative commons lizentzia
http://www.wikillerato.org/Imagen:Membrana_liposoma.jpg.html

Igartua M y cols. Eur J Pharm Biopharm 2008;69:519-526

Mikro/nano partikulen hartzea

Abantailak

1. Zaporea ezkutatu (paracetamol)
2. Urdailleko edo hesteko narritadura gutxitu (aspirina)
3. Osagai aktiboa babestu
4. Askapen kontrolatua (aspirina, nitroglicerina, progesterona)
5. Disolbagarritasun baxuko farmakoen bioerabilgarritasuna handitu
6. Askapen forma berriak produktu bioteknologikoentzat (proteinak, ADN, e.a.)

Mikro/nano partikulen hartzea

- Klinikan erabiltzen diren nanopartikulak dituzten formulazioak :
 - Rapamune® (sirolimus, rapamycin)
 - Emend® (aprepitant)
 - Tricor® (fenofibrato)
 - Megace® (megesterol azetatoa)

Mikro/nano partikulen hartzea

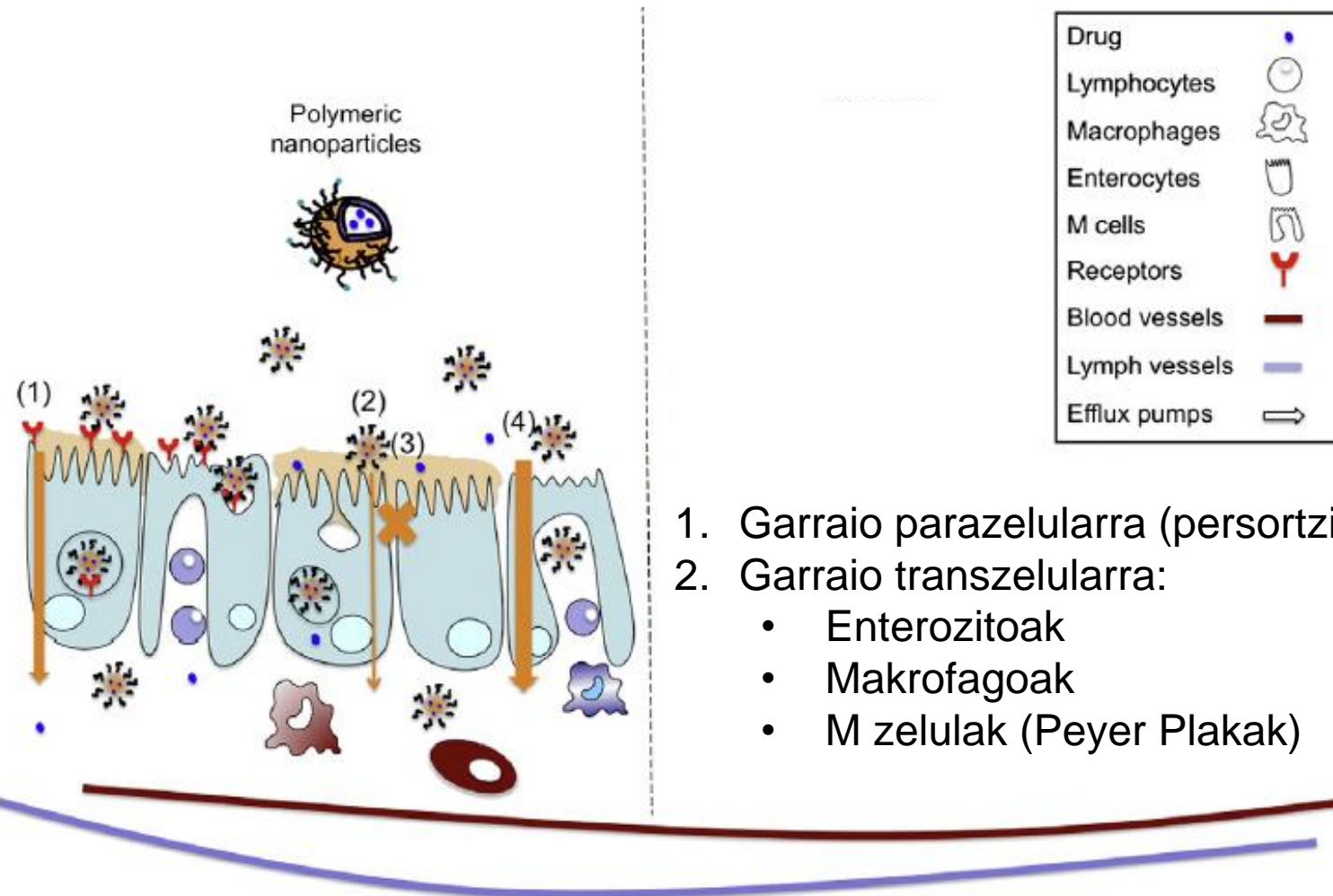
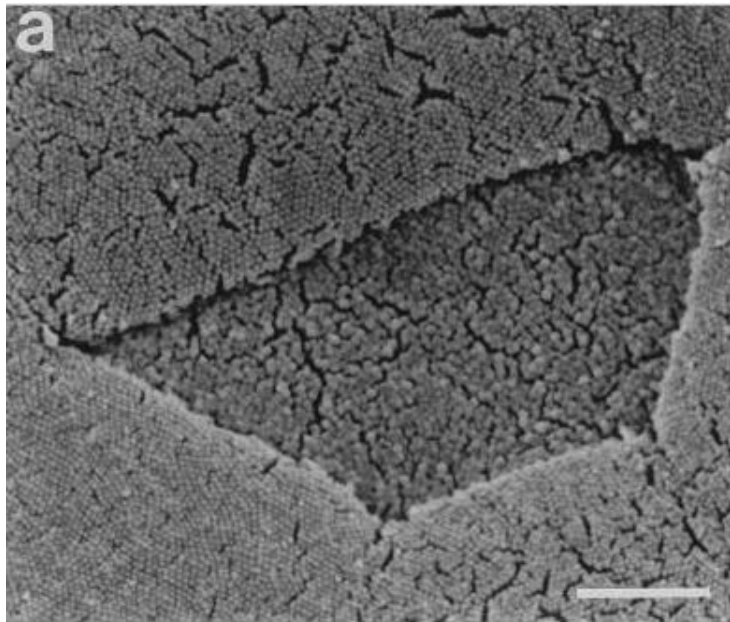


Fig. 4. Schematic representation of the fate of polymeric nanoparticles and micelles for oral drug delivery. Different pathways for transport of nanocarriers or drug through enterocytes or M cells are represented by orange (for nanoparticles) and blue (for micelles) arrows. (1) receptor mediated endocytosis (2) non specific transcellular transport (3) paracellular transport (4) M cell mediated transport. Size of arrows represents contributions of each kind of transport.

Mikro/nano partikulen hartzea



Saguen hesteko epitelioko
Peyer Plaka.



Gizaki-heste mehar mukosa non Peyer plaka
bat ikusten den

Clark MA, Hirst BH, Jepson MA.
Infect Immun 1998; 66:1237–1243

Plainpaper. Wikipedian argitaratua "Creative Commons Attribution/Share-Alike License 3.0 License" lizenziarekin
http://en.wikipedia.org/wiki/File:Peyer%27s_patch.jpg.

Mikro/nano partikulen hartzea

PARTIKULEN HARTZEAN ERAGINA DUTEN FAKTOREAK

1. Tamaina
2. Hidrofobizitatea
3. Karga
4. Animalia espeziea eta administrazio tokia

Mikro/nano partikulen hartzea

Mikropartikulak hartzeko mekanismoak

| Mekanismoa | Tamaina | Non |
|--------------|-------------|--|
| Enterozitoak | <220 nm | Sistema retikuloendoteliala (SER) |
| Makrofagoak | 1 µm | Nodulu linfatiko mesenterikoak |
| Peyer plakak | 20 nm-10 µm | Nodulu linfatiko mesenterikoak eta SER |

Mikro/nano partikulen hartzea

PARTIKULEN HARTZEAN ERAGINA DUTEN FAKTOREAK

1. Tamaina
2. Hidrofobizitatea
3. Karga
4. Animalia espeziea eta administrazio tokia

Mikro/nano partikulen hartzea

PLGA mikropartikulak, malarialaren aurkako antigeno batekin. Erantzun immunologikoa saguei sudur bidetik administratu eta gero

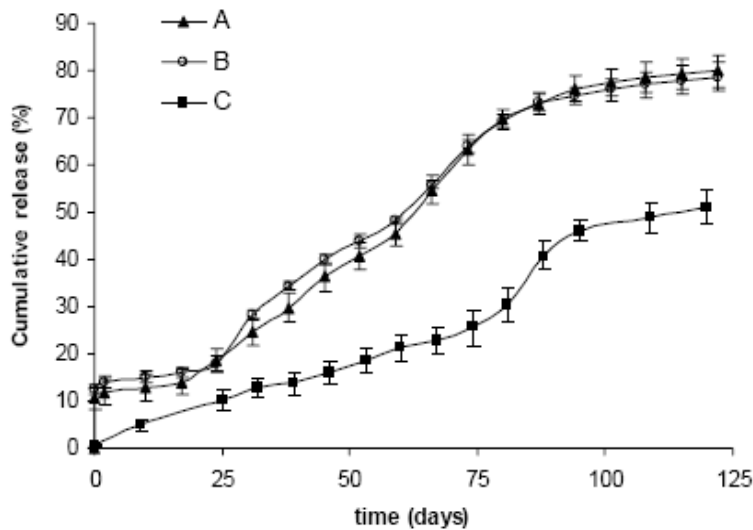


Fig. 1. Cumulative in vitro release profile of the formulations A, B and C (characterized in Table 2). Values are represented as mean (\pm standard deviation, S.D.) for three batches of each formulation.

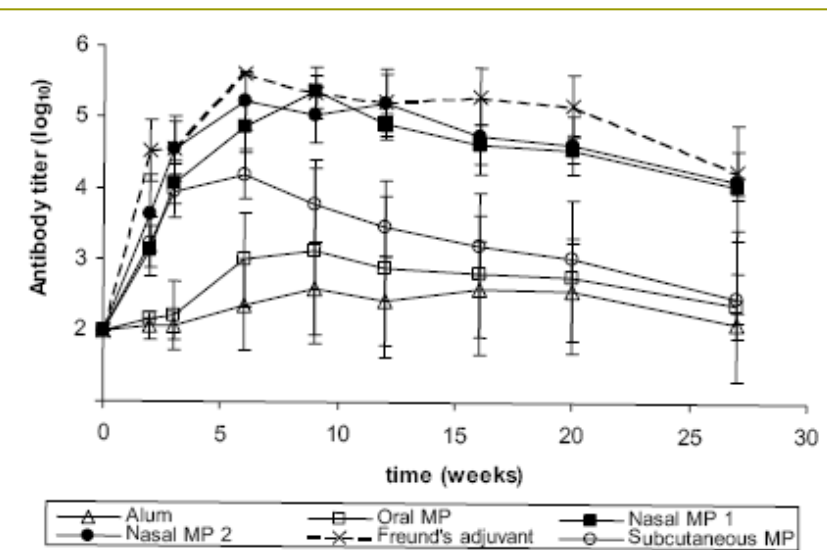


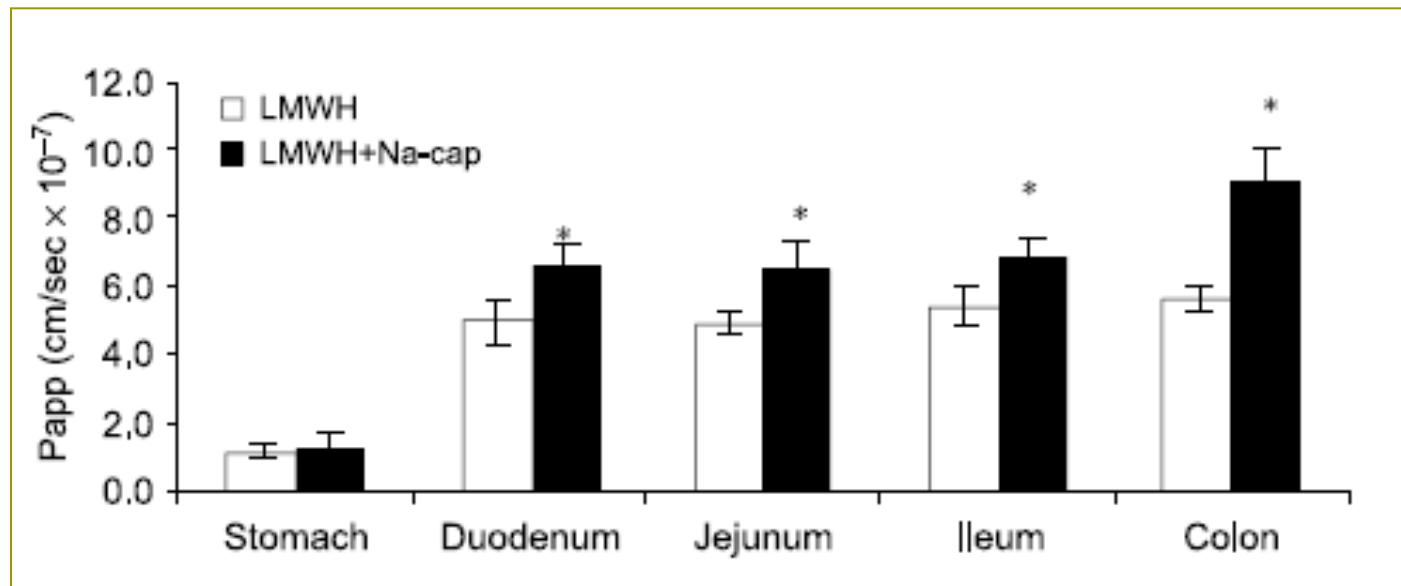
Fig. 4. Complete IgG profiles (mean \pm S.D.), from 2 up to 27 weeks, obtained for mice groups in Experiment 3 (vaccination protocols and legends in Table 1).

Carcaboso A, Hernández RM, Igartua M, Rosas JE, Patarroyo ME, Pedraz JL.
Vaccine 2004; 22:1423–1432

Xurgapenaren sustatzaileak

| Eraginkortasuna | Segurtasuna | Adibideak |
|-----------------------|---|--|
| Handia eta azkarra | Ona | Gantz azidoak: az kaprikoa, az oleikoa, az arakidonikoa |
| Moderatua eta azkarra | Ona | Behazun gatzak |
| Handia edo moderatua | Kalte zelularra | Tentsioaktiboak Sustantzia kelatzaileak (AEDT, az. zitrikoa) |
| Moderatua | Erlatiboki seguruak, baina eragin sistemikoak eduki ditzakete | DMSO, etanol |
| Kitosanoak | Ona | |
| Ziklodextrinak | Ona | |

Xurgapenaren sustatzailak



Kaprato sokidoaren (Na-cap) eragina ardeparinaren (pisu molekular baxuko heparina baten, LMWH) iragazkortasunean

Motlek NA, Srivenugopal KS, Wachtel MS, Youan B . J Drug Target 2005;13:573-583

Xurgapenaren sustatzailak

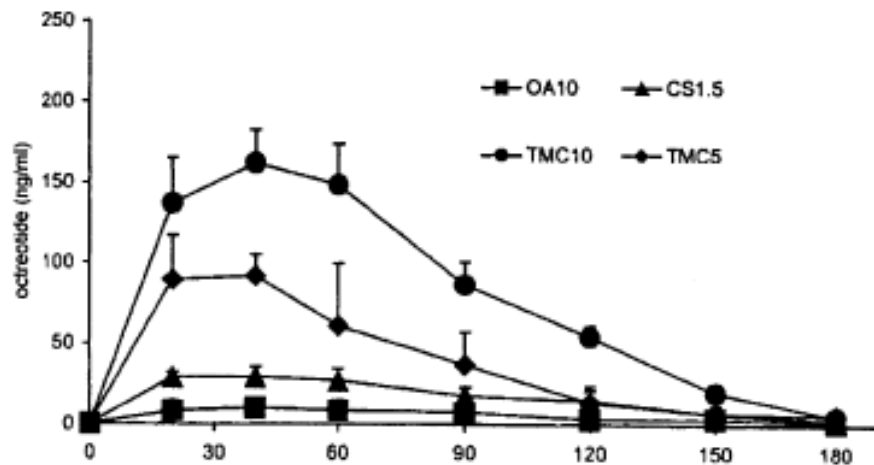


Fig. 5. Plasma octreotide concentration (mean \pm SE) versus time curves after intrajejunal administration in pigs (10 mg/20 ml/pig) with the polymers chitosan HCl [CS15: 1.5% (w/v); pH 5.5; n = 6] and TMC [TMC10: 10% (w/v); pH 7.4; n = 6 and TMC: 5% (w/v); pH 7.4; n = 3] or without any polymer [OA10: octreotide in 0.9% NaCl; pH 7.4; n = 5] (adapted from Ref. [34]).

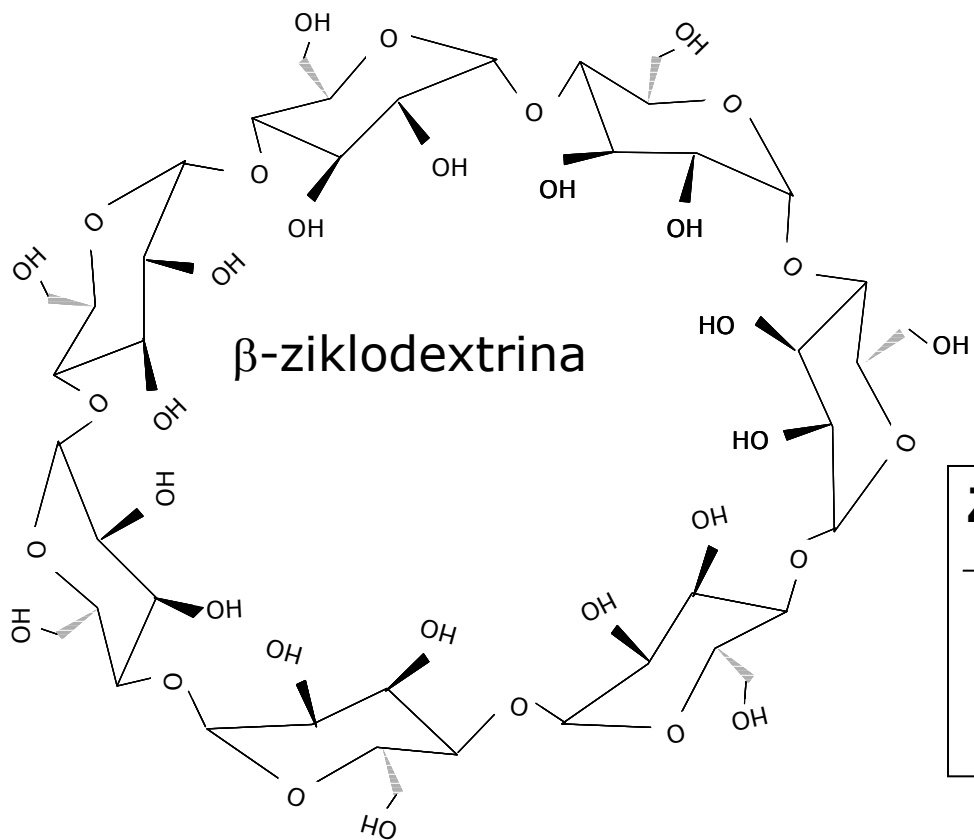
CS: kitosano
TMC: trimetil kitosano

Oktreotideren xurgapena hobetzen duten kitosano ezberdinien eragina.
Txerrietañ egindako ikerketa

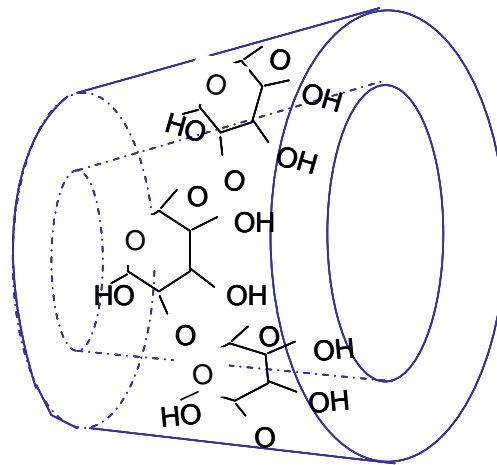
van der Merwe SM, Verhoef JC, Verheijden JHM, Kotzé AF, Junjinger HE y cols. Eur J Pharm Biopharm 2004; 58:225–235

Xurgapenaren sustatzailak

Ziklodextrinak



β-ziklodextrina



| Ziklodextrina | Glukosa kopurua |
|---------------|-----------------|
| α | 5 |
| β | 6 |
| γ | 7 |

Xurgapenaren sustatzailak

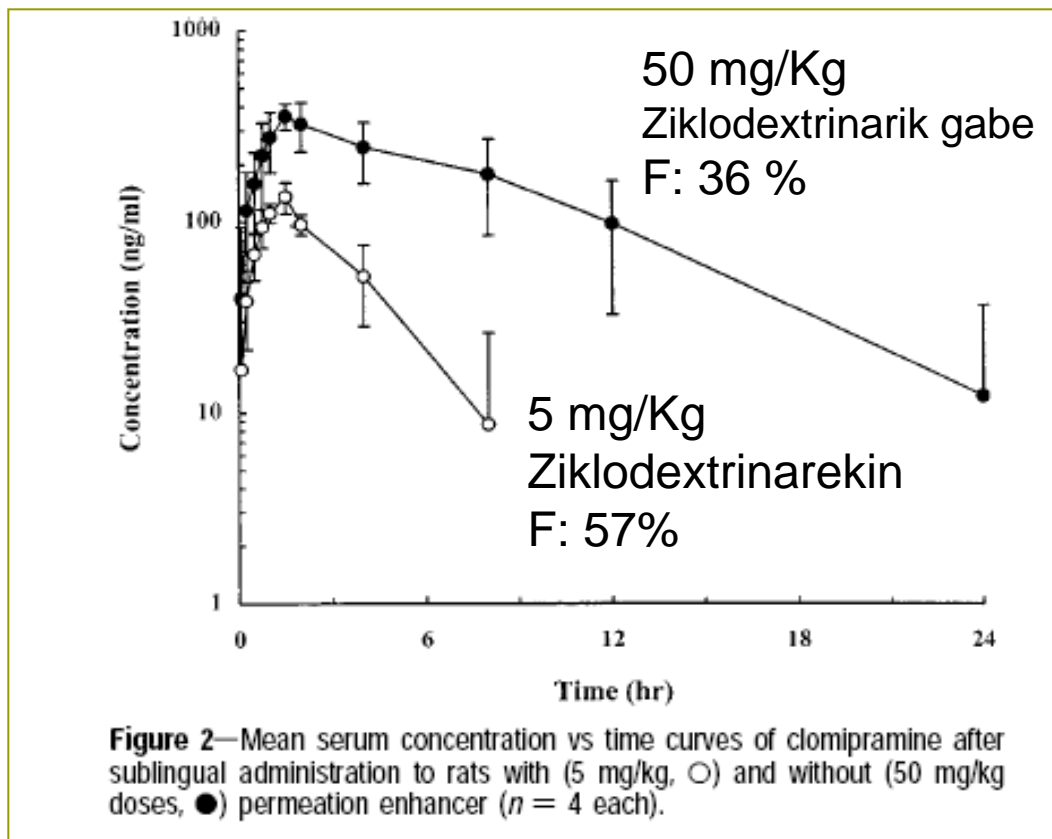


Figure 2—Mean serum concentration vs time curves of clomipramine after sublingual administration to rats with (5 mg/kg, ○) and without (50 mg/kg doses, ●) permeation enhancer ($n = 4$ each).

2-hidroxipropil- β -ziklodextrinaren eragina klomipraminaren xurgapenean

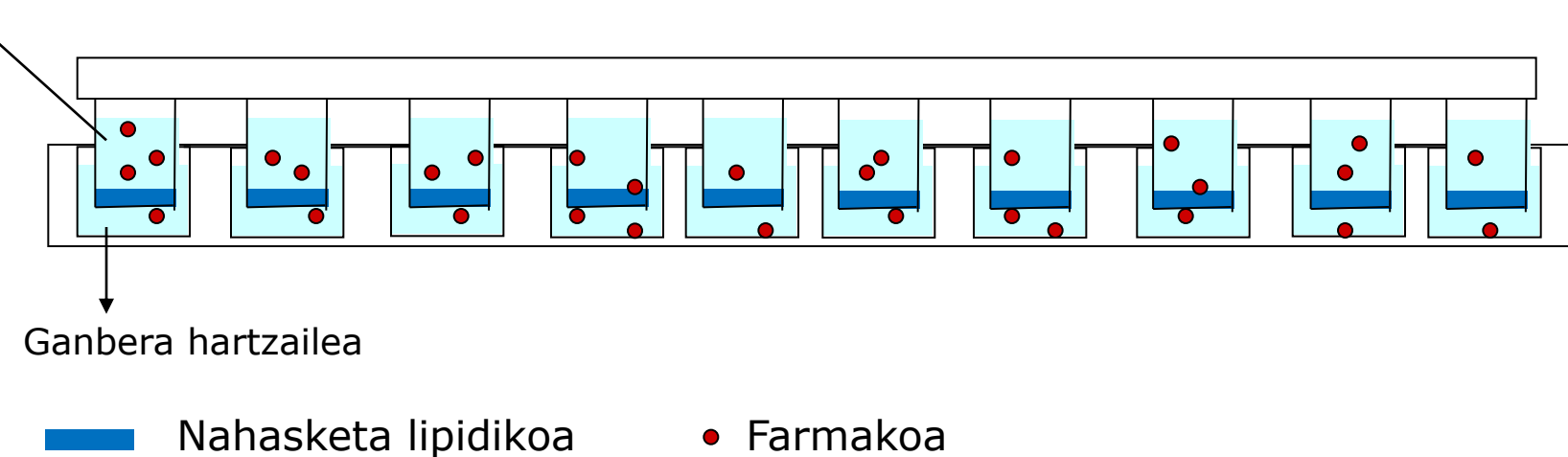
Xurgapena aztertzeko moduak

1. *In vitro*
2. *In vivo*
3. *In silico*

In vitro

1. Mintz artifizialak. PAMPA: parallel artificial membrane permeability

Ganbera emalea



Iragazkortasun saioetan erabiltzen diren plaken eskema.

Goi partean: ganbera emalea

Behean: ganbera hartzaila

96 putzutan irabiagailu bat

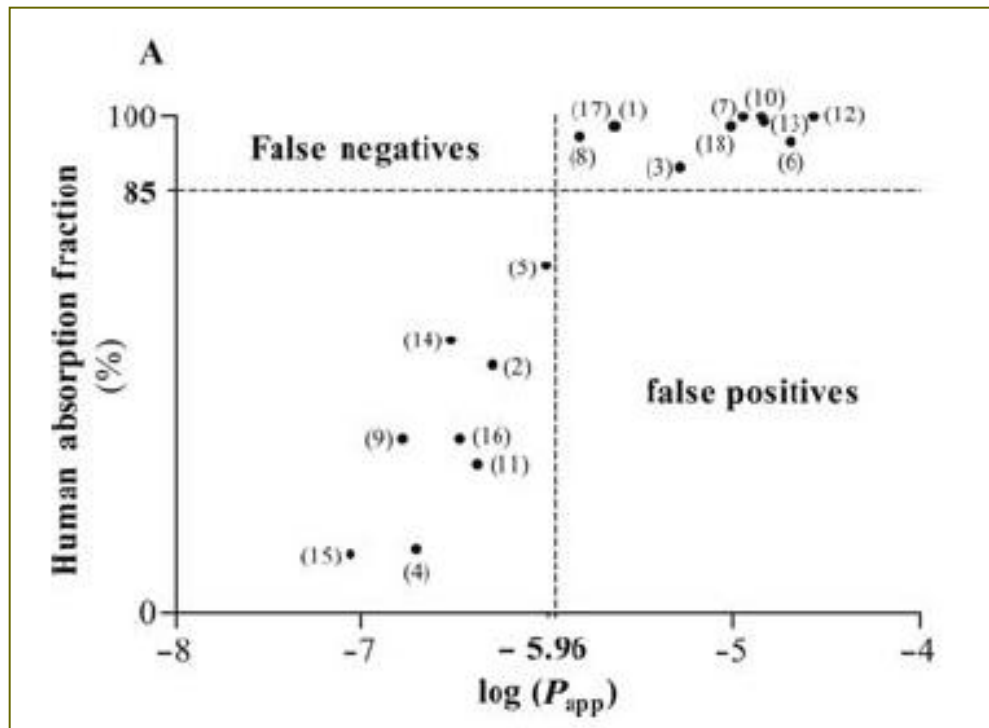
In vitro

1. Mintz artifizialak. PAMPA



In vitro

1. Mintz artifizialak. PAMPA

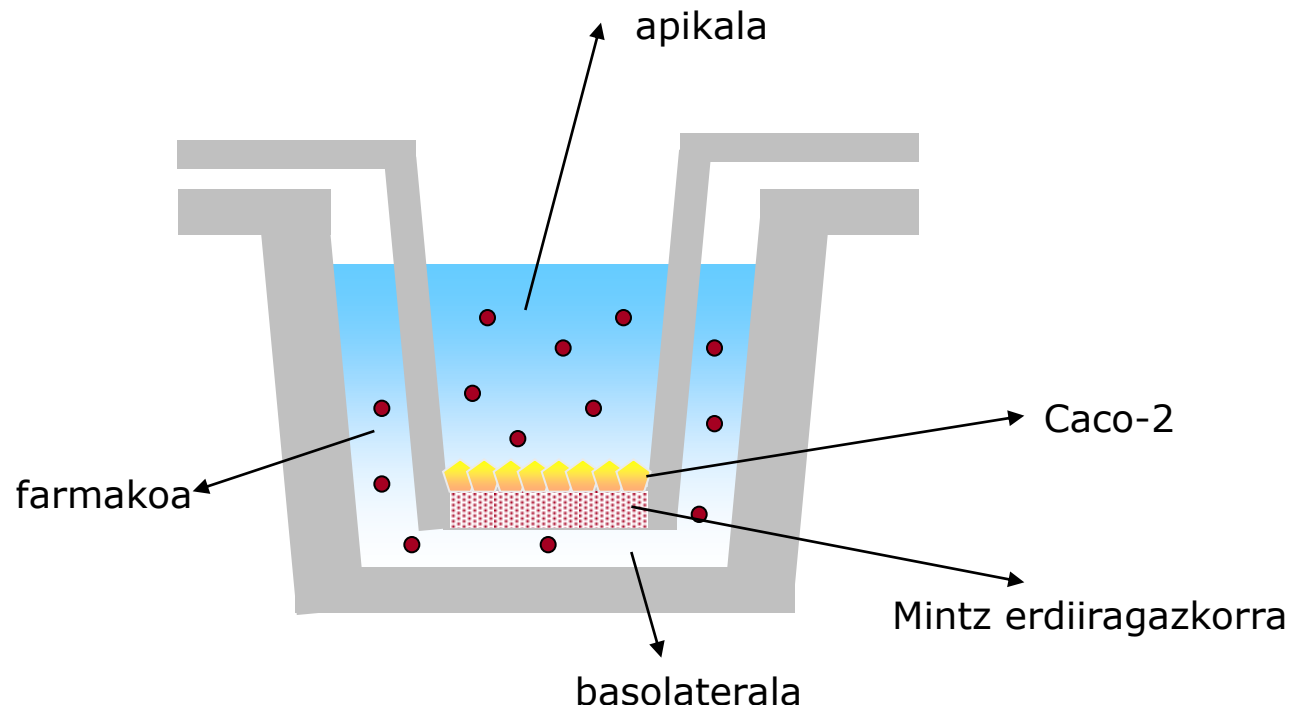


1. A. azetil salizilik
2. Atenolol
3. Kloranfenikol
4. Klorotiazida
5. Hidroklorotiazida
6. Ibuprofeno
7. Ketoprofeno
8. Metoprolol
9. Nadolol
10. Naproxeno
11. Norfloxacino
12. Piroxicam
13. Propranolol
14. Ranitidina
15. Zulfasalazina
16. Sulpiride
17. Teofilina
18. Berapamilo

Gizakietan este-xurgapenaren eta PAMPA mintzak erabiliz lortutako iragazkortasunaren arteko korrelazioa

In vitro

2. Zelula-kulturak: Caco-2



In vitro

2. Zelula-kulturak: Caco-2

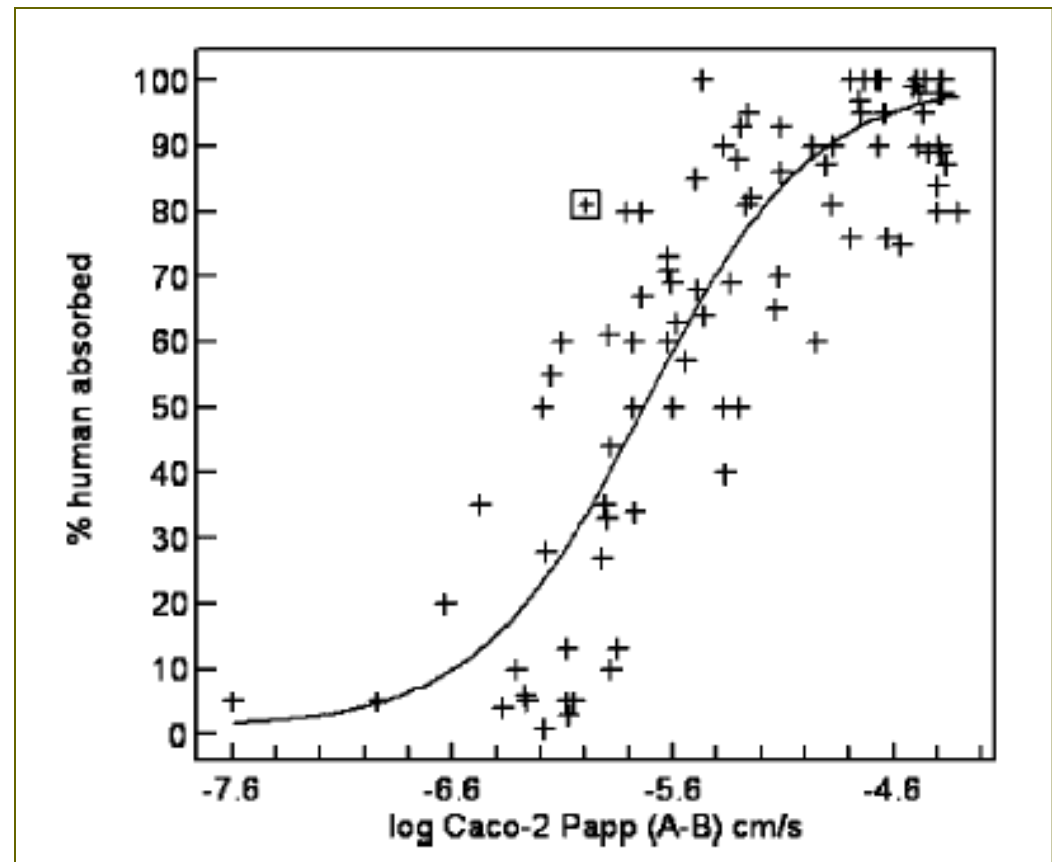


Caco-2 zelulekin iragazkortasun saioak egiteko 12 putzutako plaka

In vitro

2. Zelula-kulturak: Caco-2

Aho bidez administratutako konposatu ezberdinen xurgatutako dosi frakzioaren (FA) eta Caco-2 zelula-kulturak erabiliz neurtutako iragazkortasunaren arteko erlazioa



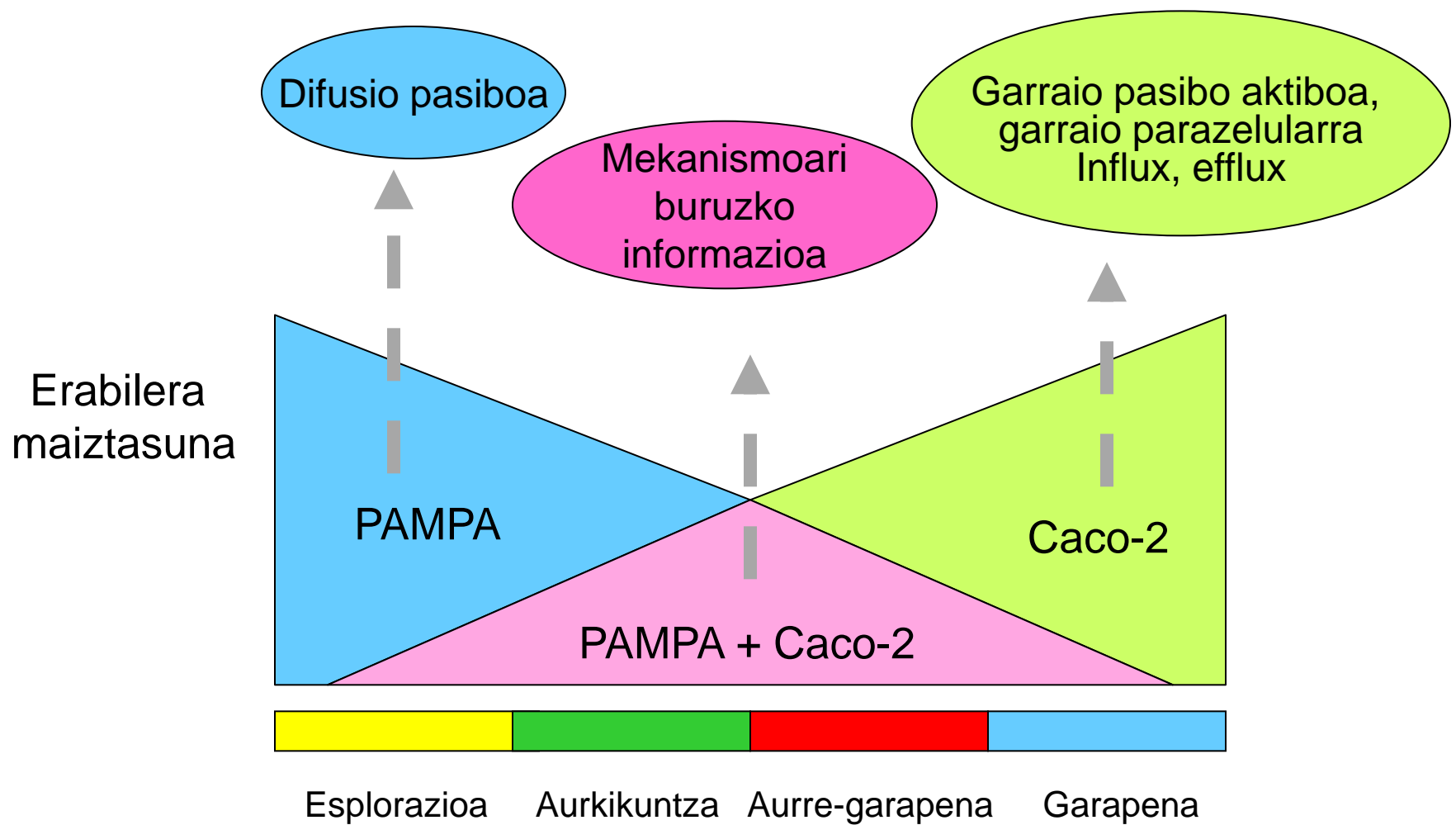
Skolnik S, Lin X, Wang J, Chen X-H, He T, Zhang B. J Pharm Sci 2010;99:32-46-3265

In vitro

- Beste zelula lerro batzuk:

- MDCK (txakur giltzurruna)
- 2/4/A1 (heste zelula normalak, arratoi-fetuetatik lortuak)
- HT29 (giza-kolon kartzinoma)

In vitro



Animaliak

1. *In vitro*:

1. Heste eratzunak
2. Zaku alderantzikatuak

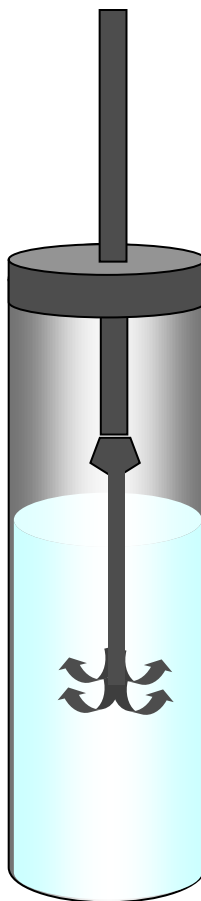
2. *In vivo*:

1. Sustantzia markatuak: γ izpiak, ^{14}C , ^3H

3. *In situ*:

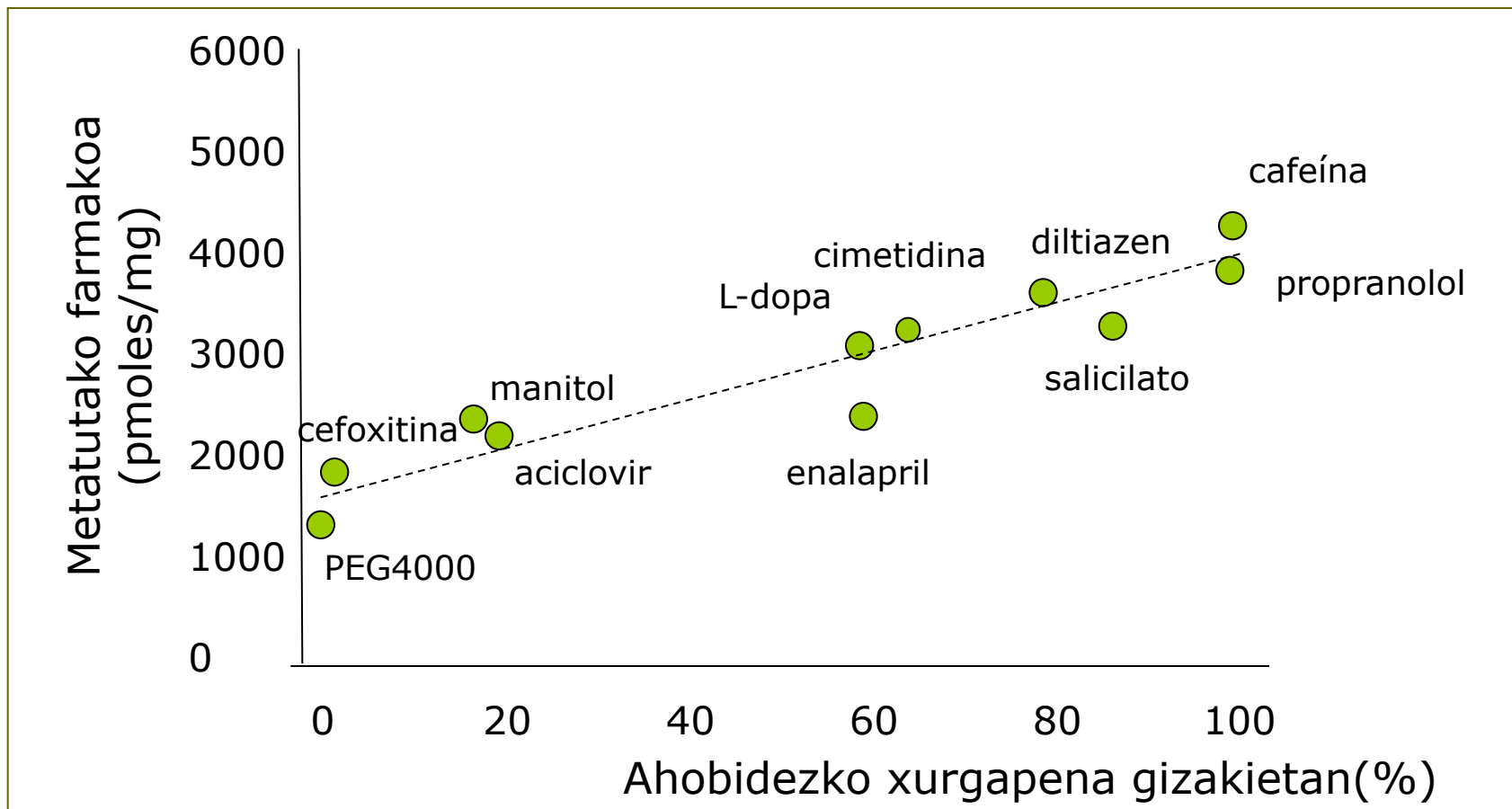
1. Iragazkortasuna

In vitro: animaliak



Heste eraztunekin xurgapen ikerketetan erabiltzen den gailua

In vitro: animaliak



Giza bioerabilgarritasuna eta **heste eratzunak** erabiliz lortutako emaitzen konparaketa

Iturri honetatik aldatua: Leppert PS, Fix JA. J Pharm Sci 1994;83:976-981

In vitro: animaliak

Heste-zaku alderantzikatuak

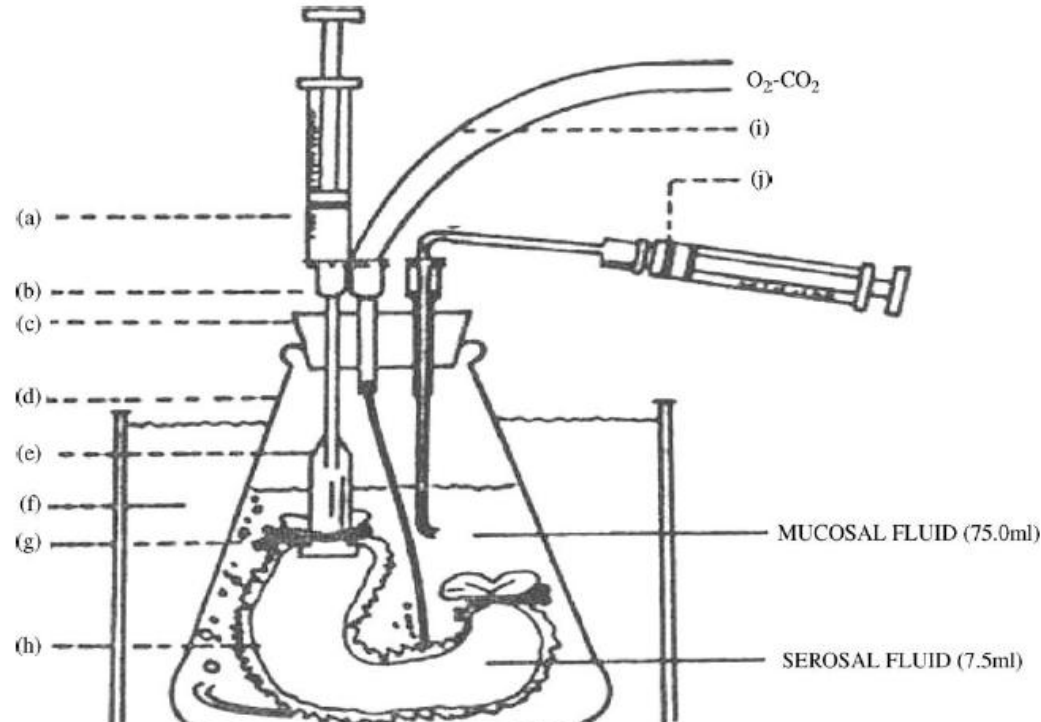


Fig. 3. Apparatus used in the ex vivo everted intestine: (a) disposable syringe for collection of serosal fluid; (b) hypodermic needle; (c) rubber stopper; (d) conical flask; (e) polyethylene centrifuge tube; (f) water bath (37°C); (g) tape used to fasten intestine to tube; (h) everted intestine; (i) mixture of gas inlet (O_2 95% and CO_2 5%); (j) disposable plastic syringe used to collect mucosal fluid.

In vitro: animaliak

| Espeziea | Lan kopurua* | Portzentajea |
|------------|--------------|--------------|
| Guztiak | 6334 | 100 |
| Gizakiak | 4411 | 69.6 |
| Arratoiak | 862 | 13.6 |
| Saguak | 478 | 7.5 |
| Txakurrak | 215 | 3.4 |
| Untxiak | 199 | 3.1 |
| Akuriak | 38 | 0.6 |
| Hamsterrak | 23 | 0.4 |
| Primateak | 21 | 0.3 |

Animalia espezie ezberdinekin egindako ikerketa kopurua.

*: Espezie bakoitzaren balioak batuz guztiak agertzen den zifra baino altuagoa da, lan batzuetan espezie bat baino gehiago erabiltzen direlako

In vitro: animaliak

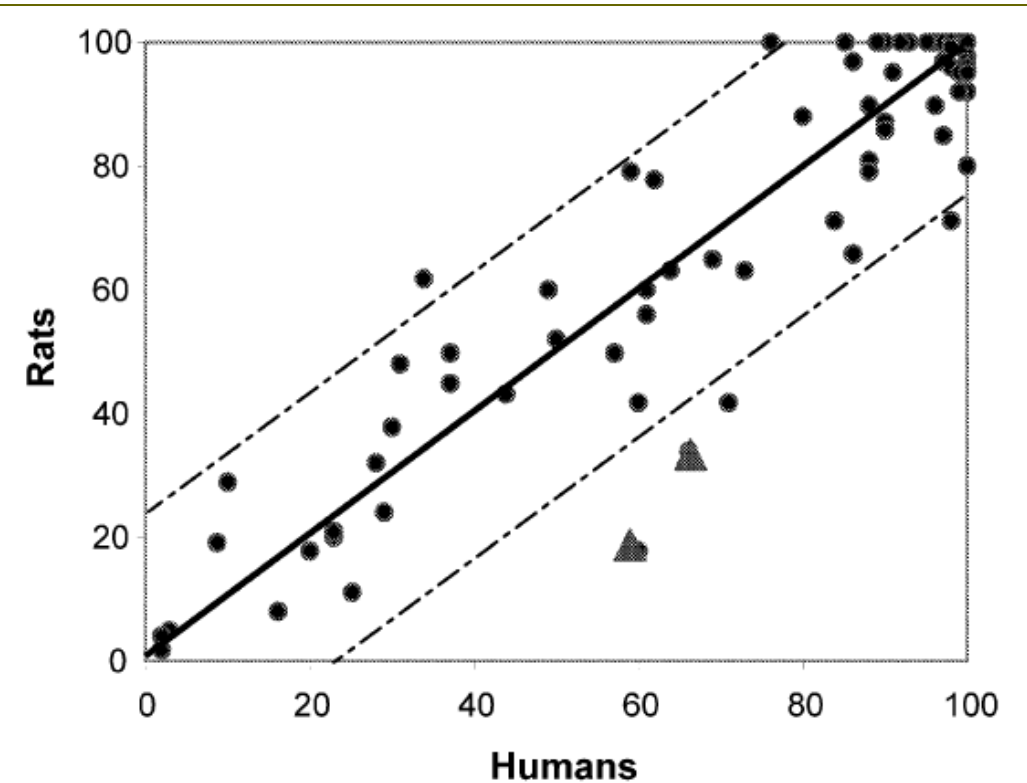
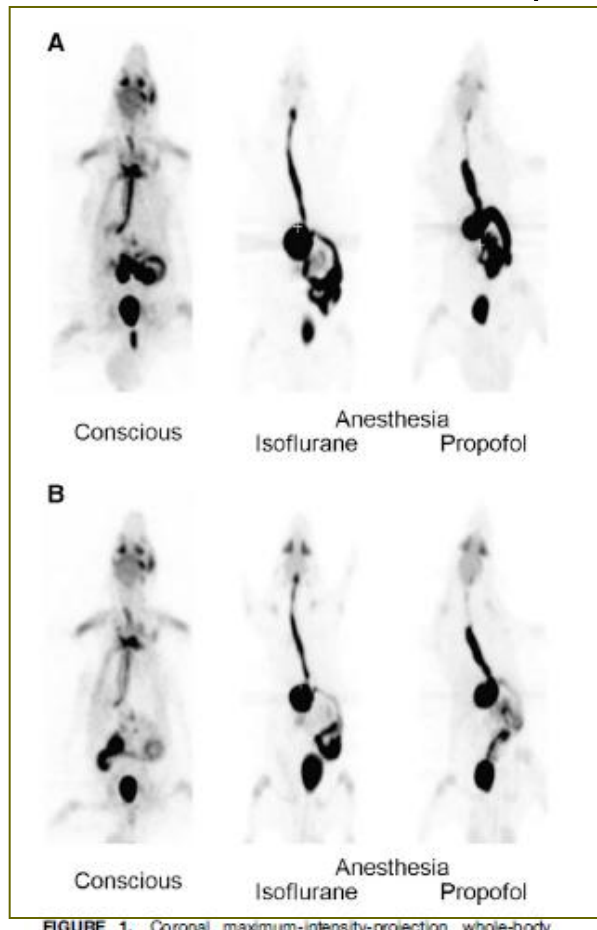


Fig. 1. Plot of human percentage of absorption against rat percentage of absorption for 98 compounds.

Zhao YH, Abraham MH, Le J, Hersy A, Luscombe CN, Beck G, Sherborne B, Cooper I.
Eur J Med Chem 2003; 38:233-243

In vitro: animaliak

- Markatutako sustantziak (^{14}C y ^{3}H)
- PET



*Ymashita S, Takashima T, Kataoka M, Oh H, Sakuna S, Takashashi M, Suzuki N, Hayashinaka E, Wada Y, Cui Y, Watanabe Y.
J Nucl Med 2011;52:249-256*

PET erabiliz hartutako argazkiak, aho-bidetik arratoiei administratu eta gero, kontziente daudenean edo isofluoranorekin edo propofolekin anestesiatu ondoren

In vitro: animaliak

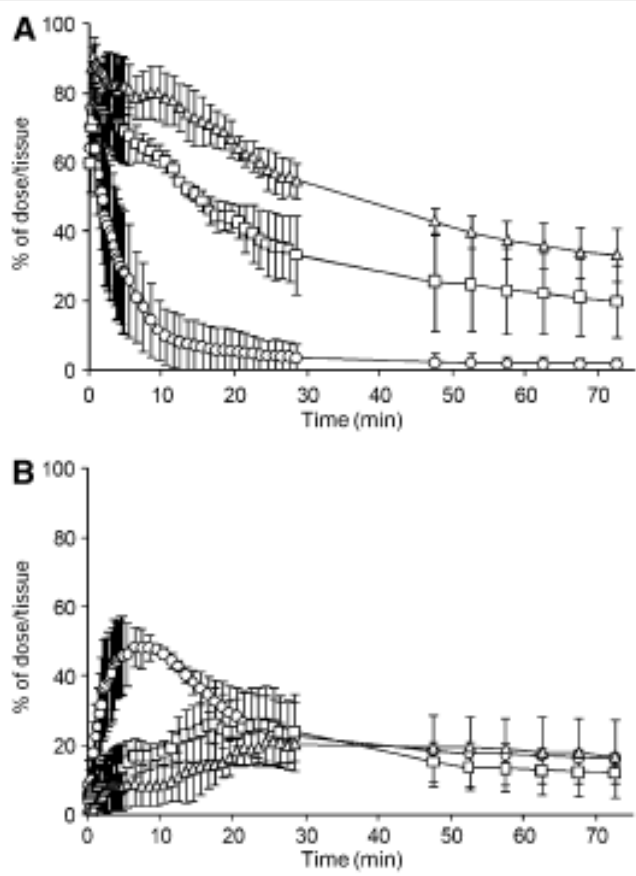


FIGURE 3. Time courses of radioactivity in stomach (A) and small intestine (B) after oral administration of ^{18}F -FDG to conscious rats (○) and rats anesthetized with isoflurane (□) or propofol (△). Data are mean \pm SD of 3 experiments.

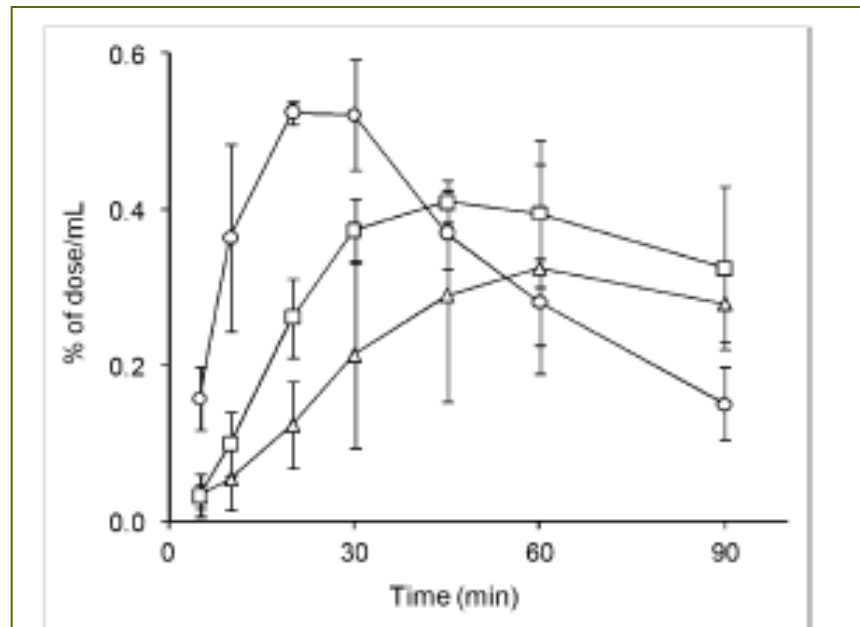
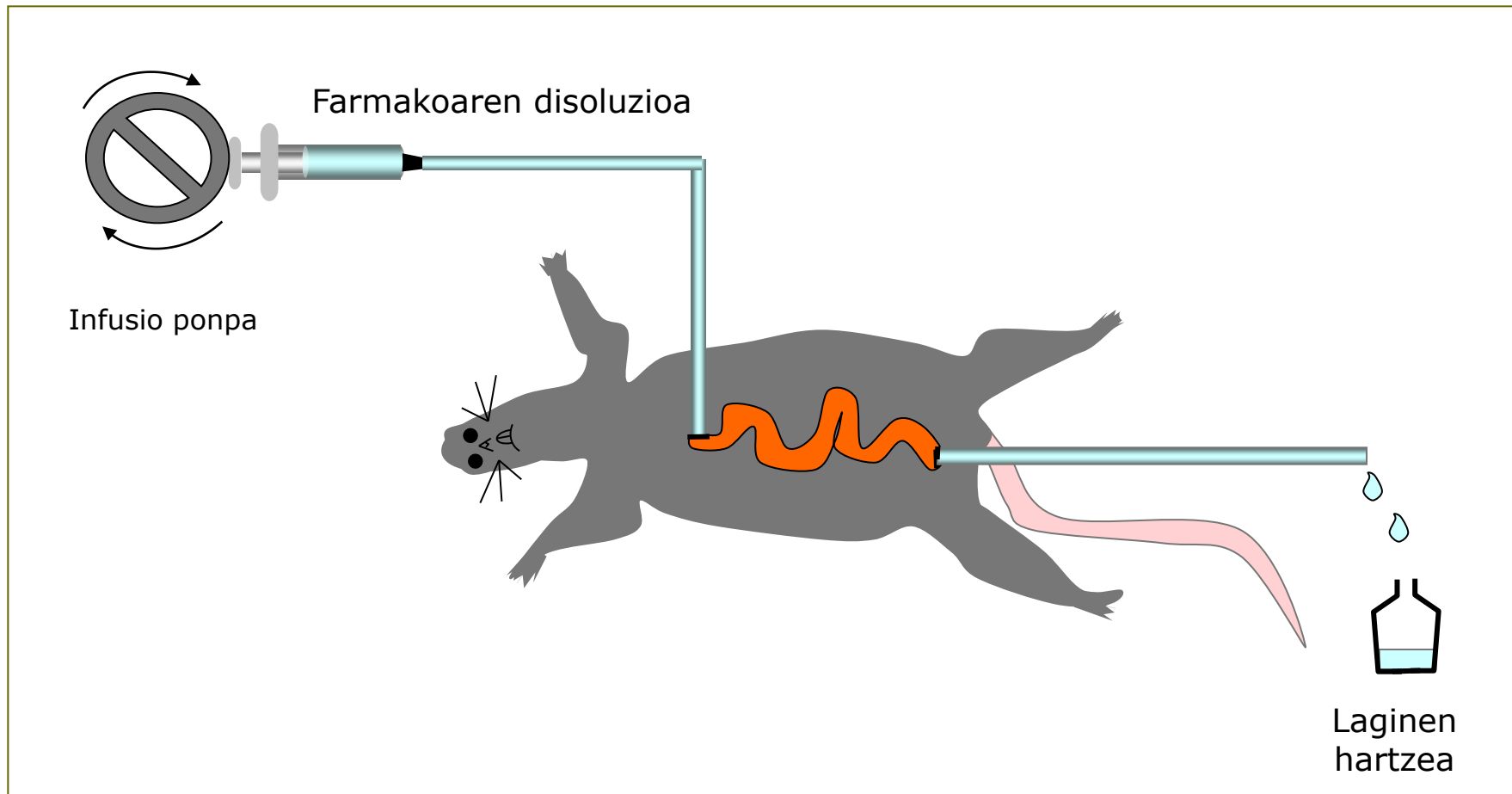


FIGURE 5. Time courses of radioactivity in whole blood after oral administration of ^{18}F -FDG to conscious rats (○) and rats anesthetized with isoflurane (□) or propofol (△). Data are mean \pm SD of 3 experiments.

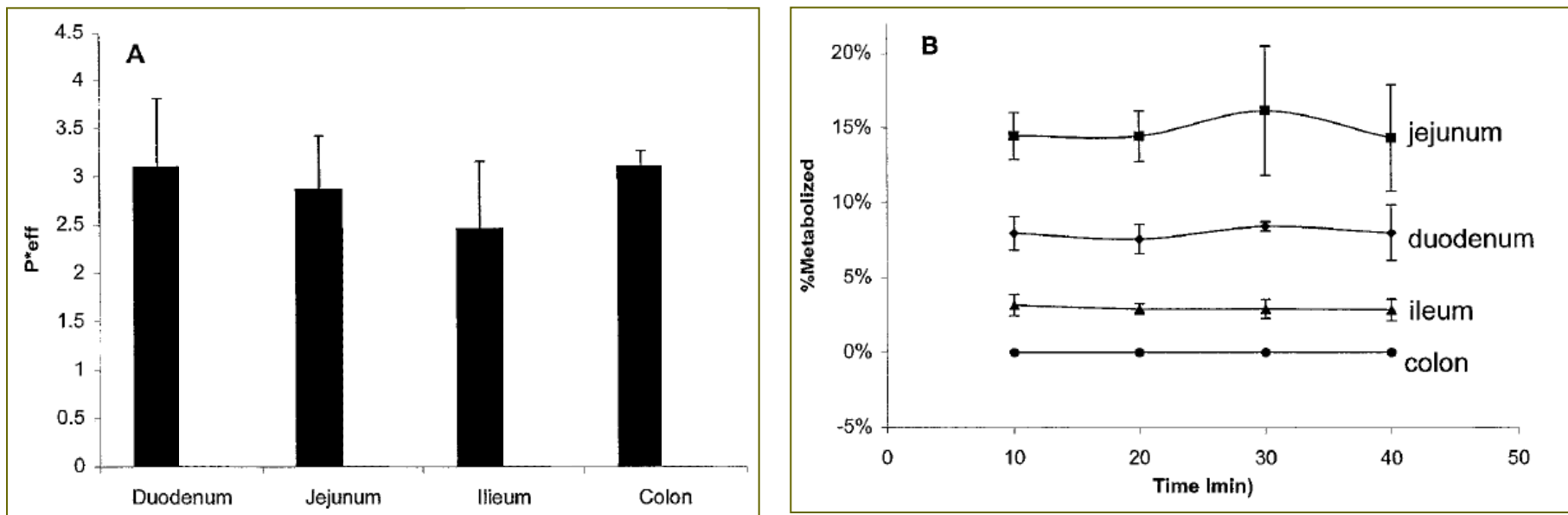
*Ymashita S, Takashima T, Kataoka M, Oh H,
Sakuna S, Takashashi M, Suzuki N, Hayashinaka
E, Wada Y, Cui Y, Watanabe Y.
J Nucl Med 2011;52:249-256*

In situ: animaliak



Arratoiaren heste-perfusio ereduaren eskema

In situ: animaliak



Iragazkortasuna eta genisteinaren metabolismo % arratoiaren
heste meharreko zona ezberdinietan

Liu Y, Hu M. Drug Metab Dispos 2002; 30:370-377

In vivo: gizakietan egindako saioak

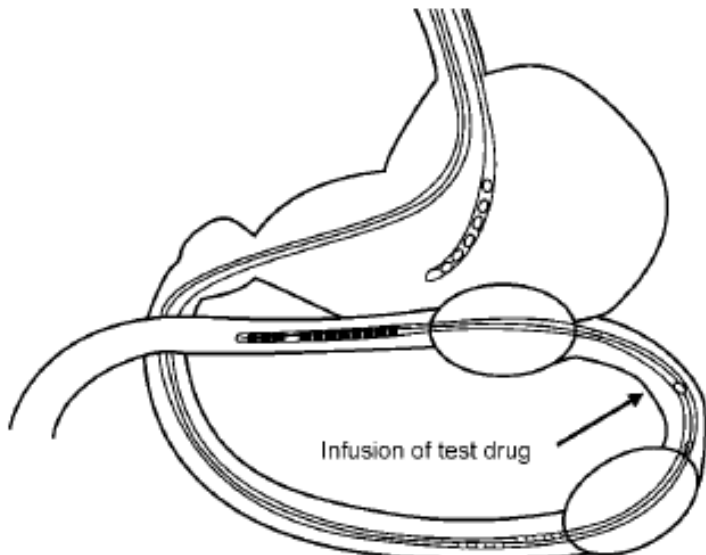


Figure 1. The LOC-I-GUT tube isolated a 10-cm long jejunal segment in the proximal jejunum. The diameter and the mantle area of this isolated intestinal segment were accurately determined using different radiological methods.

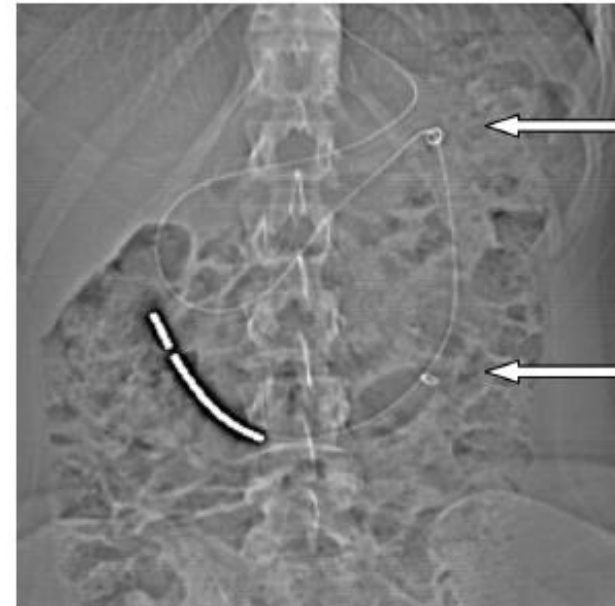


Figure 2. Radio opaque markers delineate the LOC-I-GUT segment (arrows) and reveal the positioning of the tube in the proximal part of jejunum. The outer diameter of the LOC-I-GUT tube is 5.3 mm.

Gizakietan iragazkortasuna aztertzeko sistema

Knutson T, Fridblom P, Ahlström H, Magnusson A, Tannergren C, Lennernäs H.
Mol Pharmaceutics 2009; 6:2-10.

In vivo: gizakietan egindako saioak

Furosemida, antipirina, polietilenglicol 4000 eta uraren iragazkortasuna balioak eta Loc-I-Gut sistemarekin kalkulatutako xurgatutako dosi-frakzioa

| | | |
|-----------------------------|--------------------------|-----------------|
| P_{eff} furosemide | ($\times 10^{-4}$ cm/s) | 0.17 ± 0.07 |
| f_{abs} furosemide | (%) | 5 ± 2 |
| P_{eff} antipyrine | ($\times 10^{-4}$ cm/s) | 3.96 ± 1.33 |
| f_{abs} antipyrine | (%) | 53 ± 10 |
| PEG 4000 _{rec} | (%) | 96 ± 5 |
| NWF | (mL/h \times cm) | 2.06 ± 0.84 |

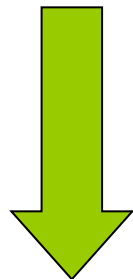
^a P_{eff} , effective jejunal permeability; f_{abs} , the fraction of drug being absorbed in the segment; PEG 4000_{rec}, recovery of ¹⁴C labeled PEG 4000; NWF, net water flux.

Knutson T, Fridblom P, Ahlström H, Magnusson A, Tannergren C, Lennernäs H. Mol Pharmaceutics 2009; 6:2-10.

In silico iragarpena

Helburua

Kandidatu berriak aukeratzeko eta garatzeko
lan esperimental kopurua gutxitu,
arrakasta edukitzeko probabilitatea handituz



Farmako berri baten gizakietan *in vivo* farmakozinetika
iragarri

In silico iragarpena

GastroPLUS™

GastroPlus™ : simulazio programa

Farmakoen xurgapenaren abiadura eta hedadura
iragartzen ditu TGI-ean

website <http://www.simulations-plus.com>